

# Controle e Estabilidade de Tensão

Djalma M. Falcão



# Resumo

- Controle de Tensão (introdução)
- Estabilidade de Tensão
- Exemplo Clássico
- Métodos de Análise
- Controle de Tensão

# Controle de Tensão

- Conjunto de ações executados para manter o perfil de tensão do sistema dentro de limites especificados
- Fortemente associado ao suporte de reativos do sistema
- Geralmente executado de forma local através da ação de:
  - Geradores, compensadores síncronos e estáticos
  - Chaveamento de bancos de capacitores e indutores
  - Transformadores com variação de tape sob carga (LTC's)
  - Etc.
- Controles coordenados e/ou centralizados têm sido propostos e implementados em alguns países
- Vantagens: melhor utilização dos recursos de controle e geração de reativos

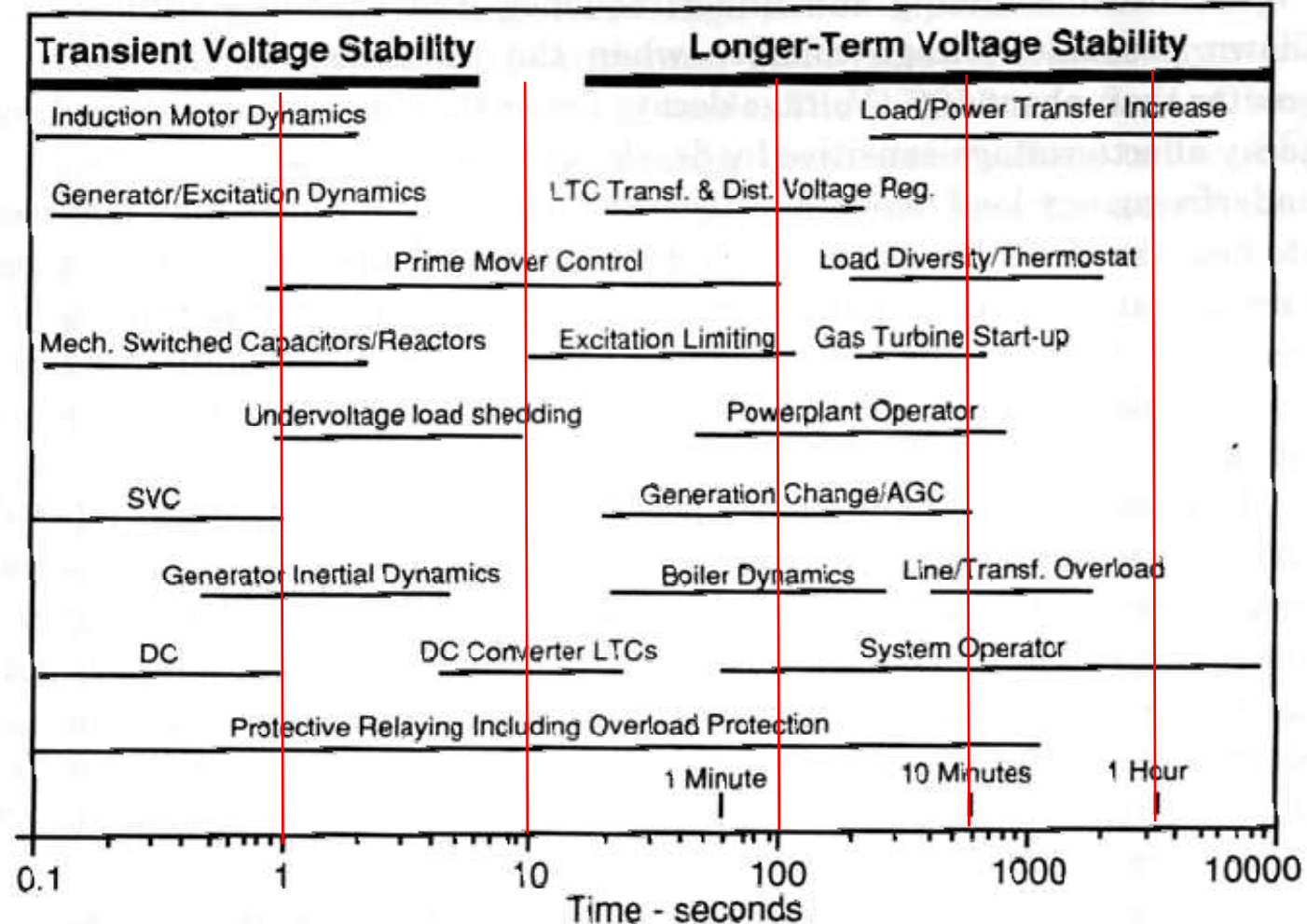
# Estabilidade de Tensão

- É a propriedade do sistema de, após sofrer um distúrbio, as tensões próximas às cargas atingirem valores de equilíbrio, dentro de certos limites.
- Instabilidade de tensão ou **Colapso de Tensão** caracterizado pela queda descontrolada da tensão.
- “Estabilidade de tensão cobre uma grande gama de fenômenos. Devido a isso, tem diferentes significados para diferentes engenheiros.” (C. Taylor)
  - Pode ser um fenômeno rápido se considerarmos motores de indução, links de HVDC, etc.
  - Pode ser um fenômeno lento se o interesse for na ação de LTC's mecânicos, limitadores de sobre-excitação de geradores, etc.
- É quase sempre do tipo decrescimento aperiódico da tensão

# Estabilidade de Tensão (cont.)

- Fortemente associada ao suporte de reativos e à capacidade do sistema de transmissão
- Estabilidade da carga
- Mecanismos/Cenários
  - Estabilidade de Tensão de Curto Prazo ou Transitória (0-10 segundos)
    - Diferença em relação à estabilidade angular normalmente não é clara
    - Causada pela ação de dispositivos de ação rápida com comportamento defavorável tais como motores de indução, elos HVDC, etc.
  - Estabilidade de Tensão de Longo Prazo (2-3 minutos)
    - Importação elevada e grandes distúrbios
    - Restauração da carga por LTCs, reguladores de tensão, carga termostática, limitações na capacidade de geradores, OEL, etc
  - Estabilidade de *Muito Longa Prazo* (vários minutos)
    - Crescimento rápido da carga ou transferência de potência (*load pickup*)
    - Limites de transferência nas linhas

# Escalas de Tempo para Estabilidade de Tensão

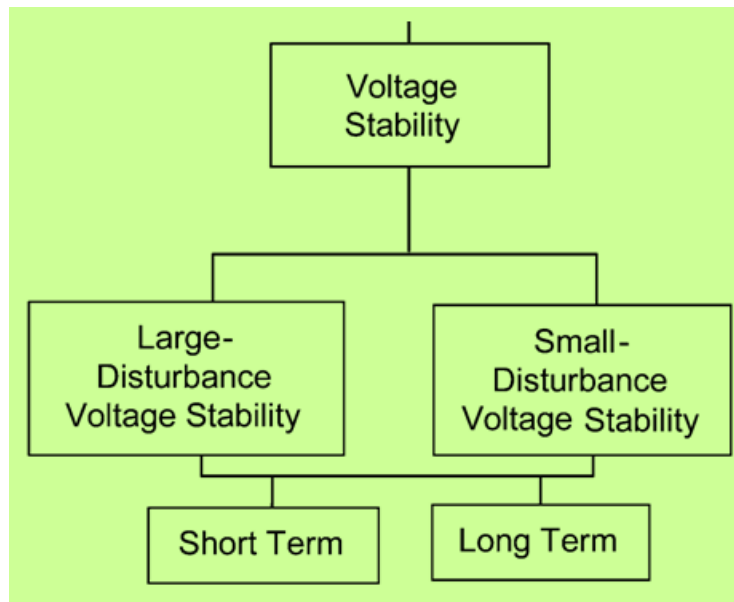


Fonte: C. Taylor, pp 19.

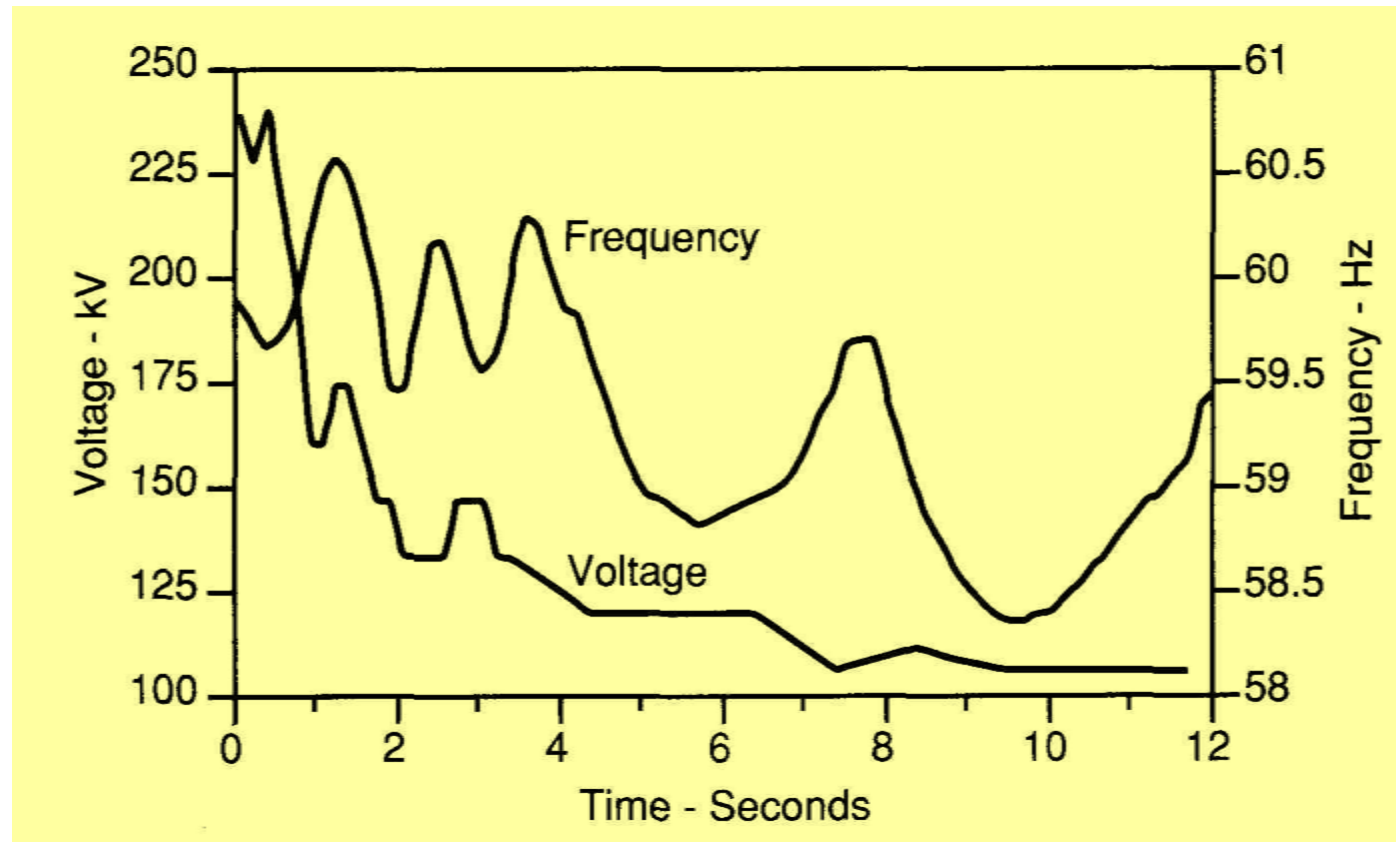
# Definições de Estabilidade

P. Kundur et al., “Definition and Classification of Power System Stability”, *IEEE Transactions on Power Systems*, vol. 19, no. 2, May 2004.

- *Voltage stability refers to the ability of a power system to maintain steady voltages at all buses in the system after being subjected to a disturbance from a given initial operating condition.*
- It depends on the ability to maintain/restore equilibrium between load demand and load supply from the power system.
- Instability that may result occurs in the form of a progressive fall or rise of voltages of some buses.



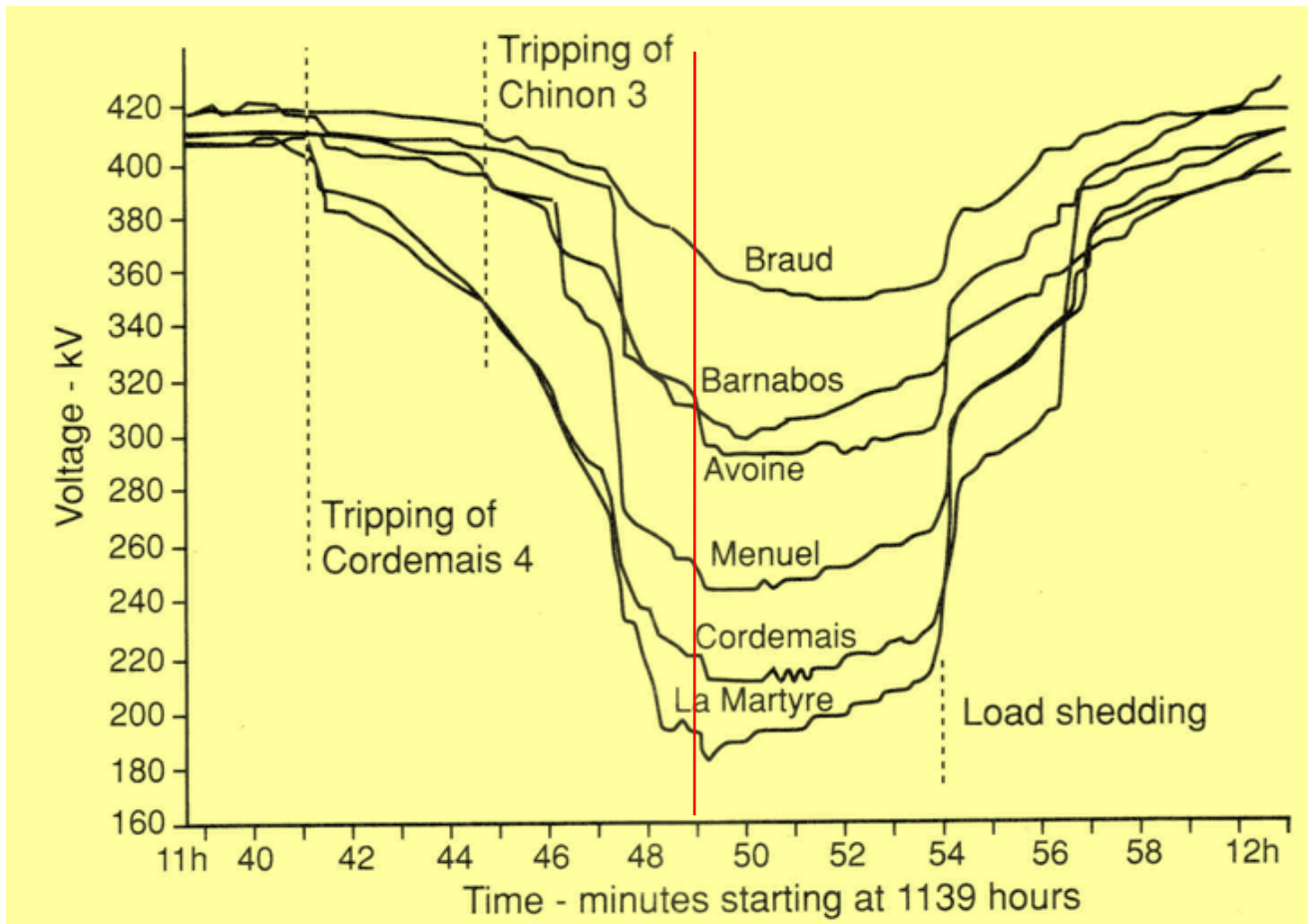
# Exemplo 1



Sul da Flórida (17Mai85), exemplo de colapso de tensão de curto prazo(4 segundos)  
Fonte: C. Taylor , pp. 21.

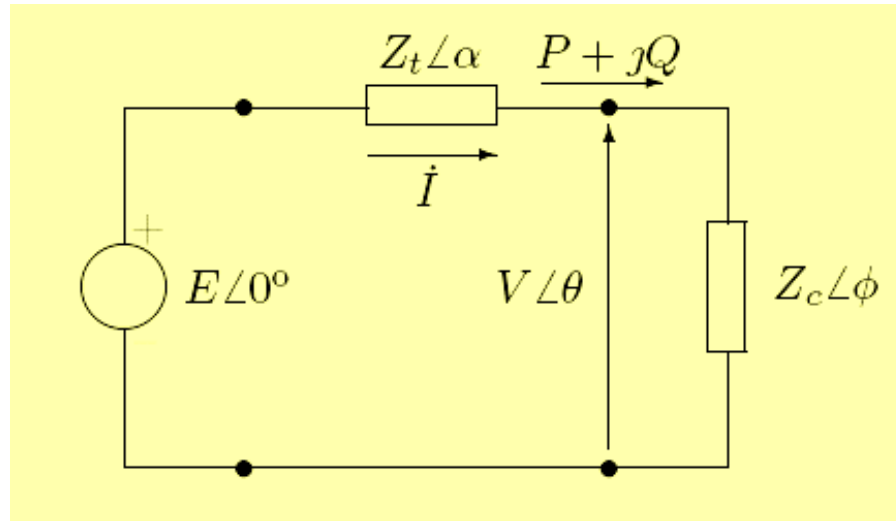


# Exemplo 2



Oeste da França (12Jan87), exemplo de colapso de tensão de longa-duração (6-7 minutos). Fonte: C. Taylor , pp. 262-264.

# Exemplo Clássico



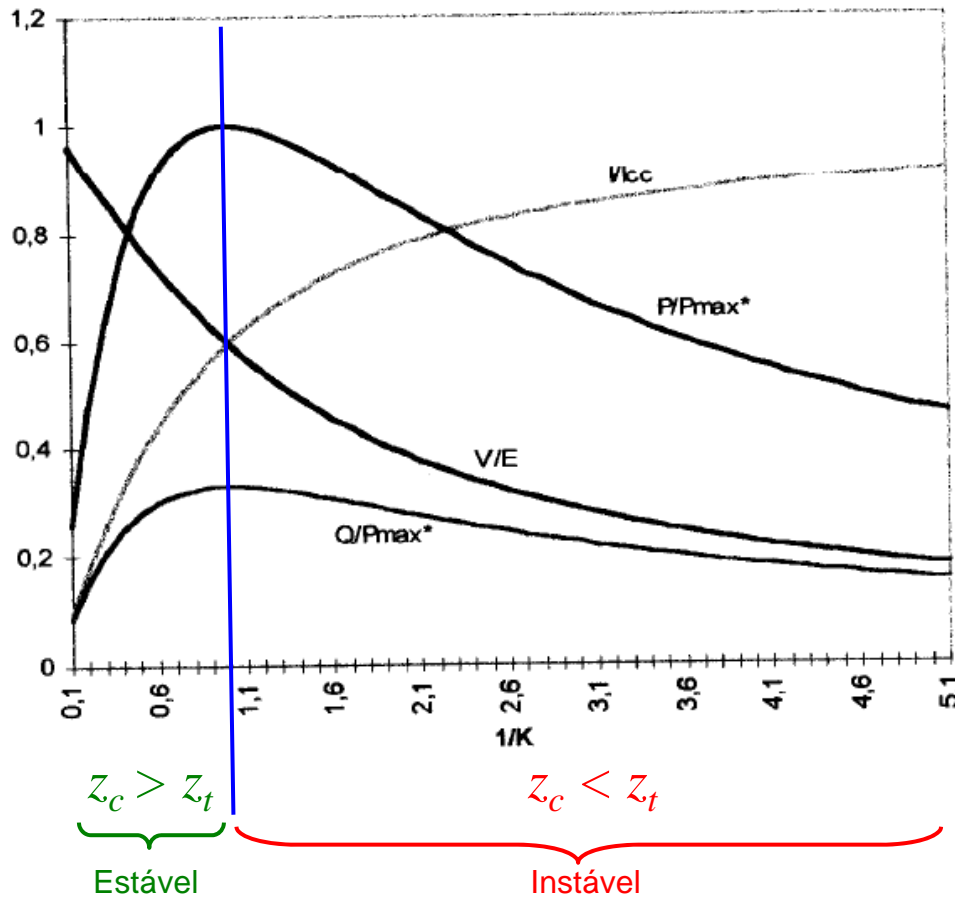
$$\kappa = \frac{Z_c}{Z_t}$$

$$\rho = 1 + \kappa^2 + 2\kappa \cos(\alpha - \phi)$$

$$\frac{I}{I_{cc}} = \frac{1}{\sqrt{\rho}} \quad ; \quad \frac{V}{E} = \frac{\kappa}{\sqrt{\rho}}$$

$$\frac{P}{P_{max}} = \frac{2\kappa \cos \phi}{\rho} \quad ; \quad \frac{Q}{P_{max}} = \frac{2\kappa \text{sen } \phi}{\rho}$$

# Corrente, Tensão e Potência



$$\tan \alpha = 10$$

$$\cos \phi = 0.95 \text{ (atrasado)}$$

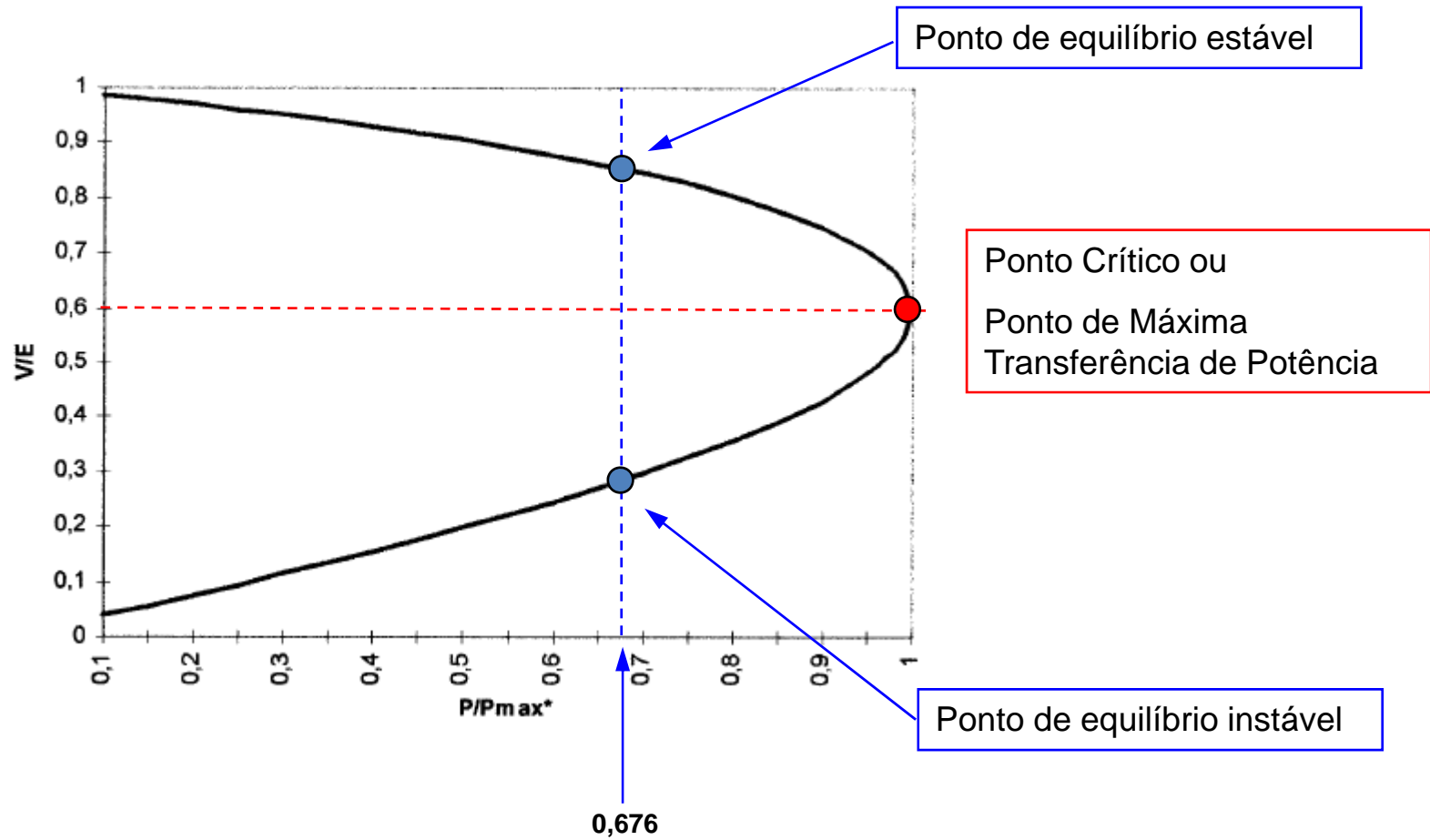
$$\frac{1}{K} = \frac{Z_t}{Z_c}$$

$$K < 1 \text{ (} Z_c < Z_t \text{)}$$

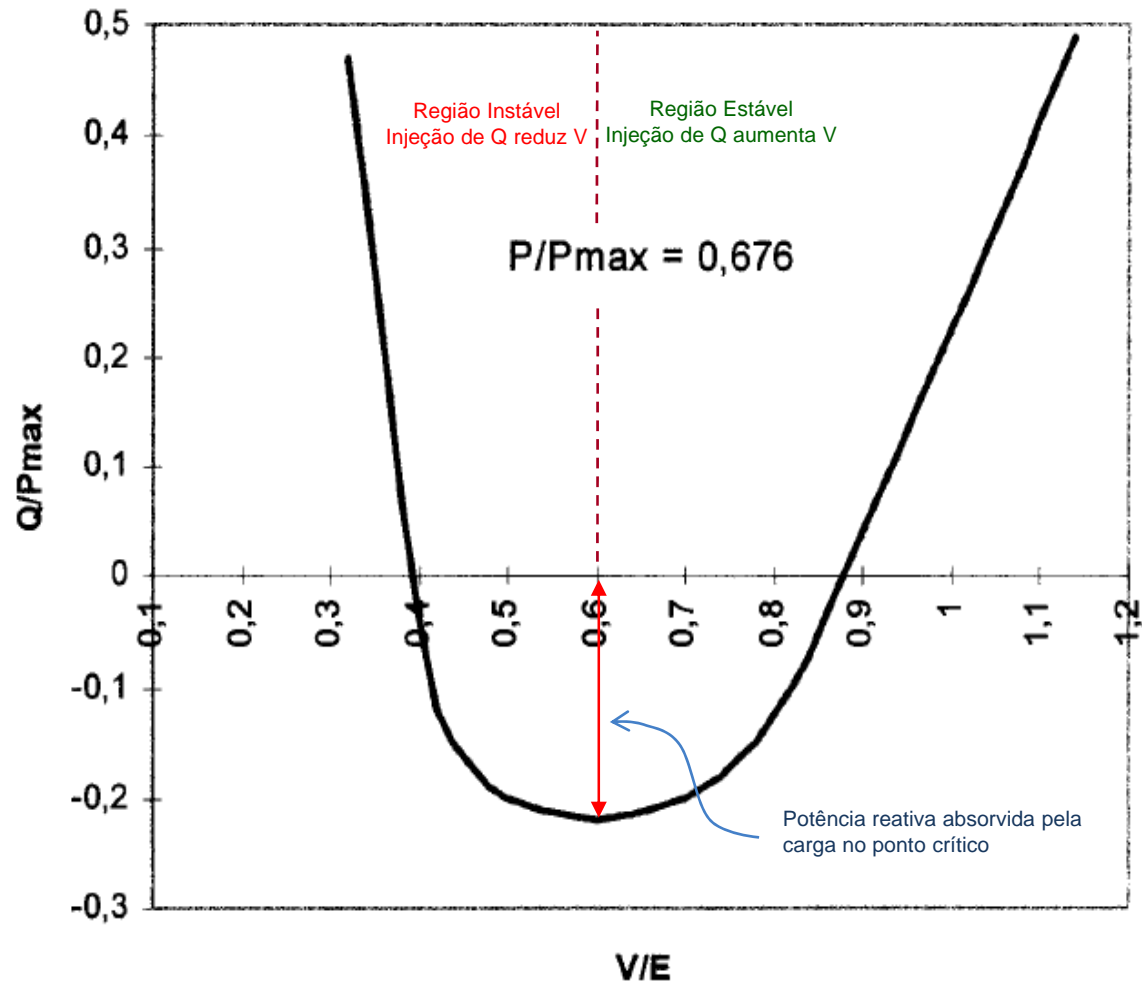
Aumento da carga  $\rightarrow$

Redução da potência transferida

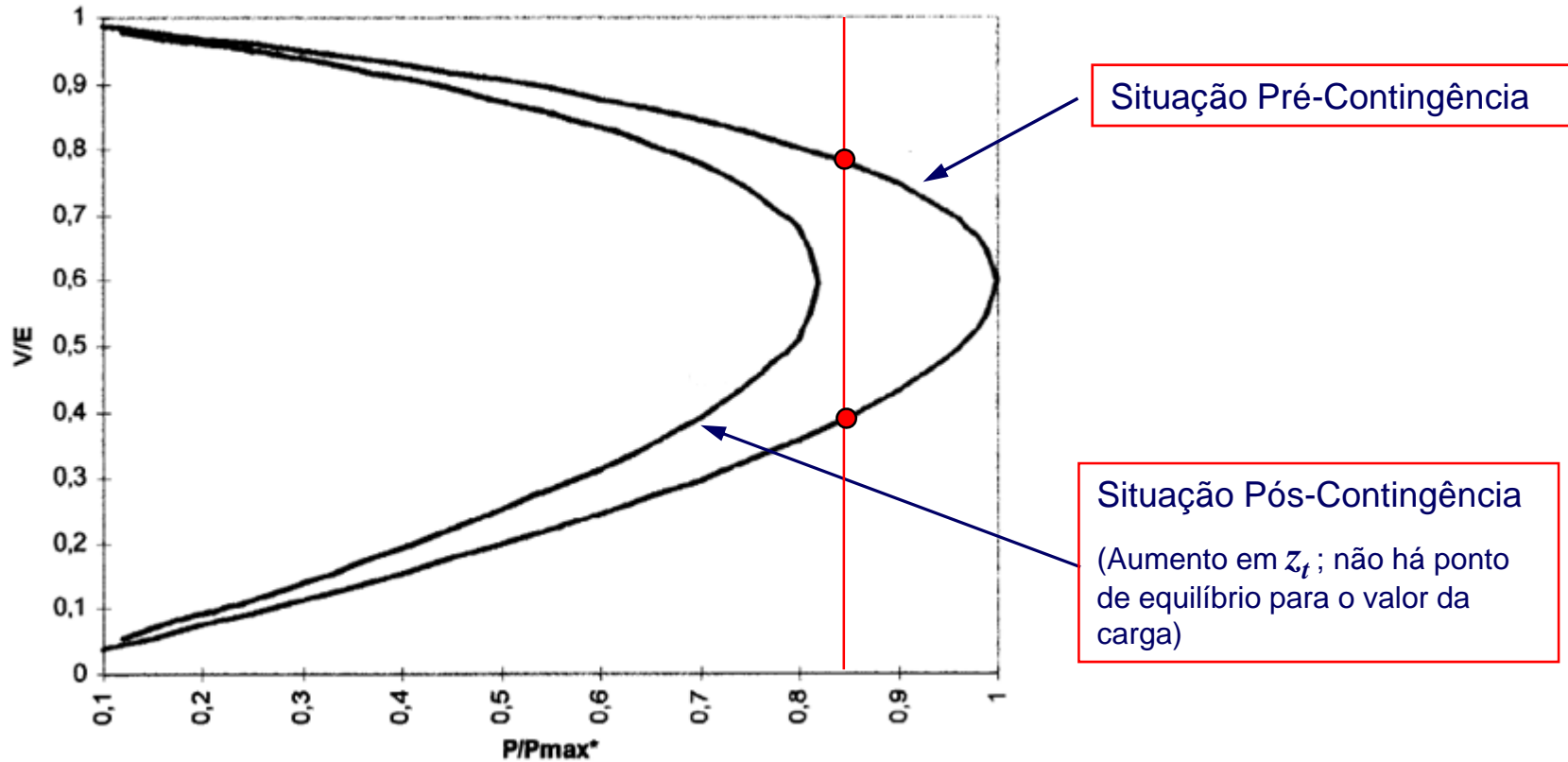
# Característica P-V



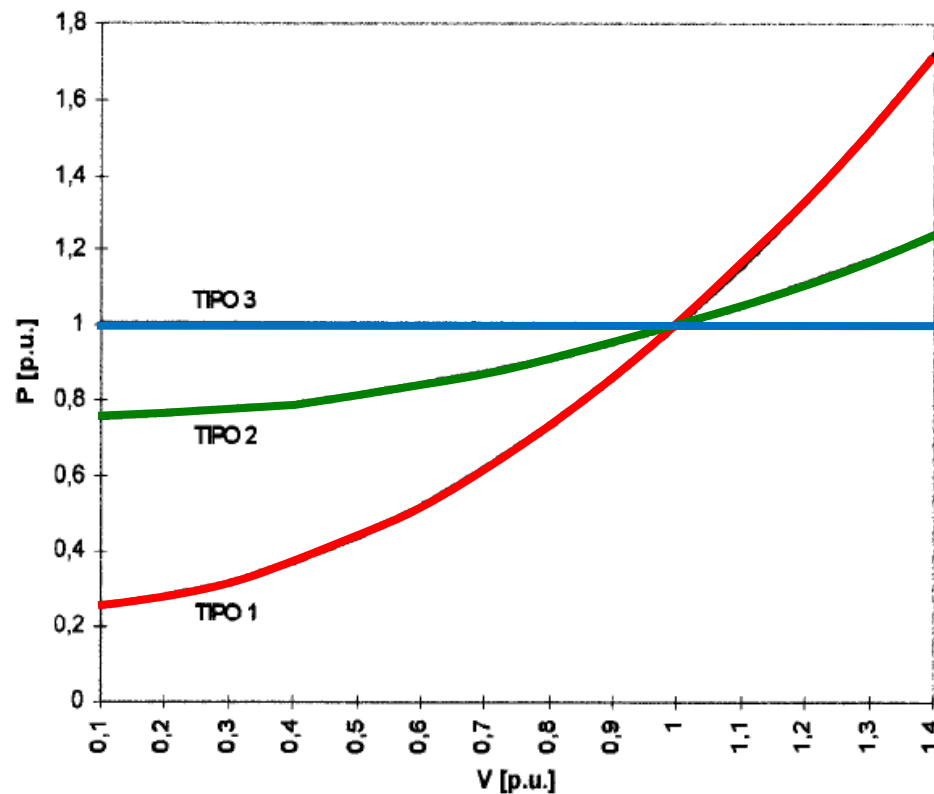
# Característica Q-V



# Característica P-V para situação Pós-Contingência



# Características da Carga



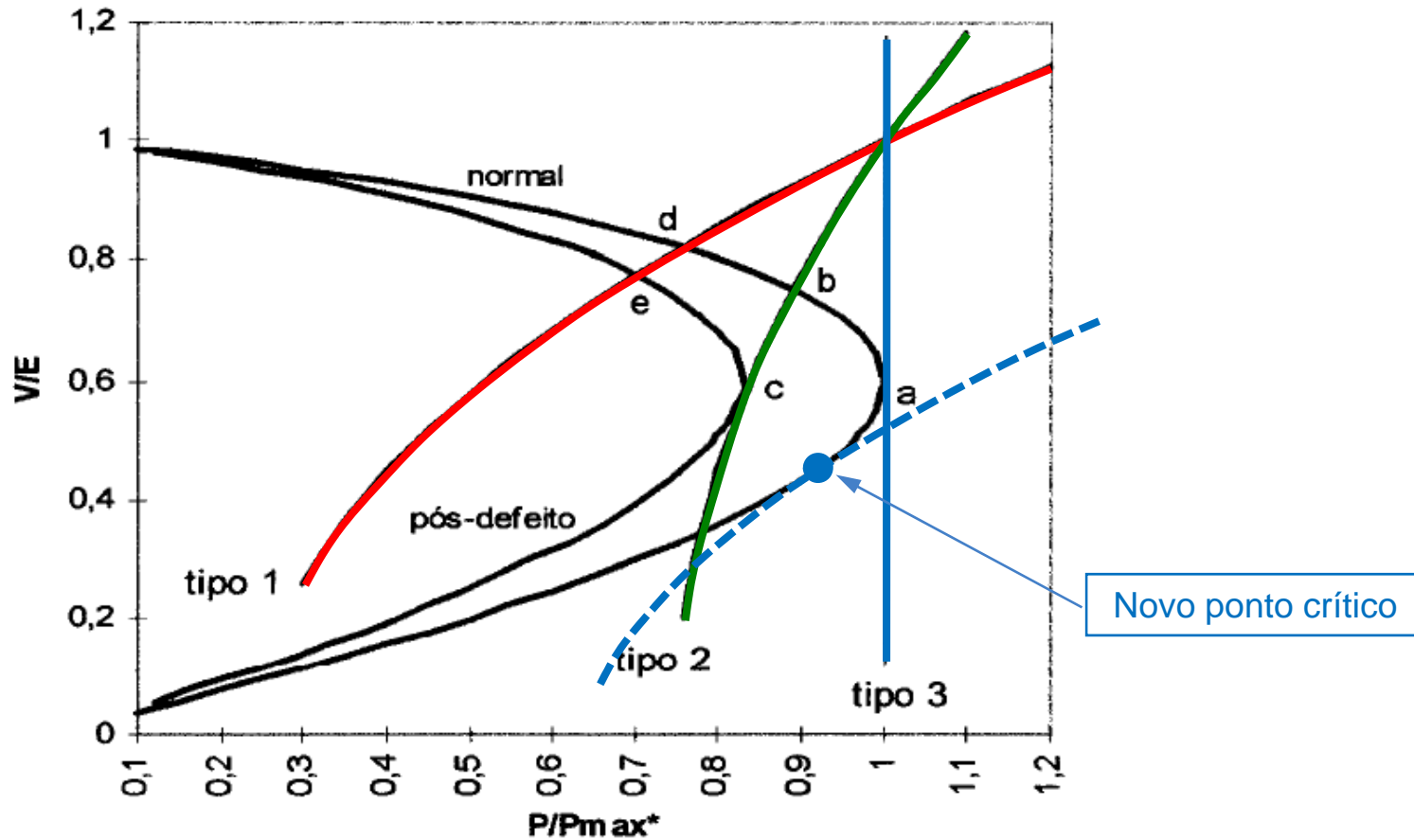
$$P = P_0(a + b V^2)$$

Tipo 1:  $a = 0.25$  e  $b = 0.75$ ;

Tipo 2:  $a = 0.75$  e  $b = 0.25$ ;

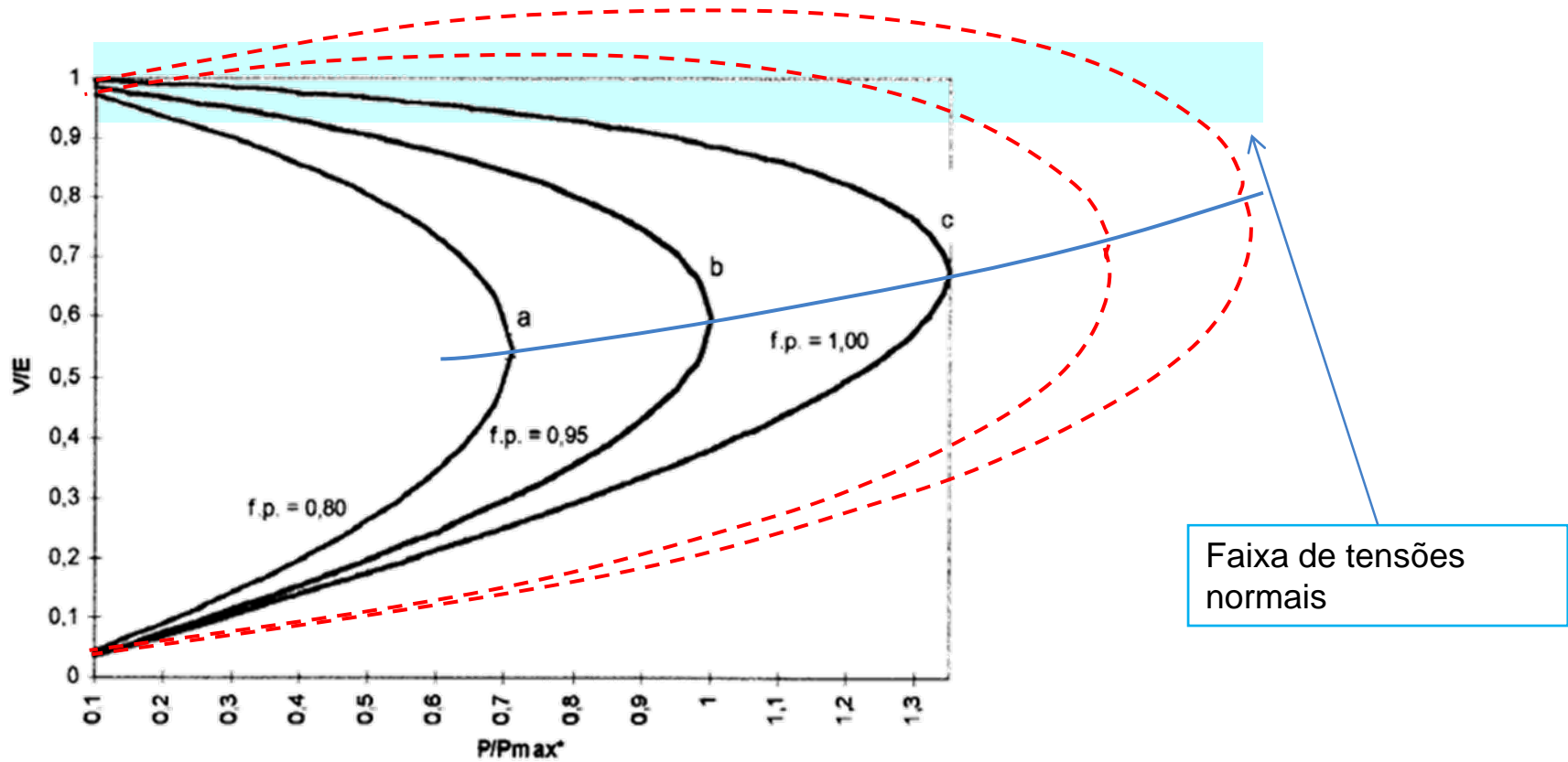
Tipo 3:  $a = 1.00$  e  $b = 0$ .

# Característica Composta Carga-Transmissão





# Característica P-V para diferente Fatores de Potência da Carga



# Métodos de Análise

- Análise Estática (Modelo do Fluxo de Potência)
  - Sensibilidade P-V e Q-V
  - Análise de Autovalores/Autovetores (Análise Modal)
  - Fluxo de Potência Continuado
  - Índices
  - Fluxo de Potência Ótimo
- Análise Dinâmica
  - Simulação Quase-Estática
  - Simulação Dinâmica Completa
  - Métodos Baseados na Função Energia

# Sensibilidade P-V e Q-V

- Modelo linearizado no ponto de operação considerado

$$\begin{bmatrix} \Delta \mathbf{P} \\ \Delta \mathbf{Q} \end{bmatrix} = \begin{bmatrix} \mathbf{J}_{P\theta} & \mathbf{J}_{PV} \\ \mathbf{J}_{Q\theta} & \mathbf{J}_{QV} \end{bmatrix} \begin{bmatrix} \Delta \theta \\ \Delta \mathbf{V} \end{bmatrix}$$

- Supondo  $\Delta \mathbf{P} = 0$ , temos

$$0 = \mathbf{J}_{P\theta} \Delta \theta + \mathbf{J}_{PV} \Delta \mathbf{V}$$

$$\Delta \mathbf{Q} = \mathbf{J}_{Q\theta} \Delta \theta + \mathbf{J}_{QV} \Delta \mathbf{V}$$

de onde obtem-se

$$\Delta \mathbf{Q} = \mathbf{J}_{RQ} \Delta \mathbf{V}$$

$$\mathbf{J}_{RQ} = \mathbf{J}_{QV} - \mathbf{J}_{Q\theta} \mathbf{J}_{P\theta}^{-1} \mathbf{J}_{PV}$$

onde  $\mathbf{J}_{RQ}$  é a **Matriz de Sensibilidade Q-V**

# Sensibilidade P-V e Q-V

- Analogamente, pode-se definir a **Matriz de Sensibilidade P-V**

$$\mathbf{J}_{RP} = \mathbf{J}_{PV} - \mathbf{J}_{P\theta} \mathbf{J}_{Q\theta}^{-1} \mathbf{J}_{QV}$$

- As matrizes  $\mathbf{J}_{RQ}$  e  $\mathbf{J}_{RP}$  podem ser vistas como equivalentes multidimensionais das inclinações das curvas Q-V e P-V
- Elementos de  $\mathbf{J}_{RQ}$  indicam a sensibilidade do módulo da tensão com a injeção de potência reativa na própria barra e em outras barras
- Valores negativos da sensibilidade indicam operação na região instável
- Quanto menores forem os valores positivos, mais estável é o sistema; aproximando-se do ponto crítico, os valores crescem até atingir infinito nesse ponto
- Essas matrizes, assim como o Jacobiano, são singulares no ponto crítico

# Análise de Autovalores/Autovetores

- A matriz de sensibilidade Q-V pode ser decomposta na forma

$$\mathbf{J}_{RQ} = \mathbf{U}\mathbf{\Lambda}\mathbf{W}$$

$\mathbf{\Lambda} = [\lambda_1, \lambda_2, \dots, \lambda_n]$  matriz diagonal de autovalores

$\mathbf{W} = [\mathbf{w}_1, \mathbf{w}_2, \dots, \mathbf{w}_n]^T$  matriz de autovetores à esquerda

$\mathbf{U} = [\mathbf{u}_1, \mathbf{u}_2, \dots, \mathbf{u}_n]$  matriz de autovetores à direita

- A relação entre variações de tensão e injeção de reativos é dada por

$$\Delta \mathbf{V} = \mathbf{U}\mathbf{\Lambda}^{-1}\mathbf{W}\Delta \mathbf{Q}$$

- Normalizando os autovetores, temos  $\mathbf{U}^{-1} = \mathbf{W}$  e

$$\mathbf{W}\Delta \mathbf{V} = \mathbf{\Lambda}^{-1}\mathbf{W}\Delta \mathbf{Q}$$

# Análise de Autovalores/Autovetores

- Redefinindo variáveis

$$\mathbf{v} = \Lambda^{-1}\mathbf{q} \qquad \mathbf{v} = \mathbf{W}\Delta\mathbf{V} \qquad \mathbf{q} = \mathbf{W}\Delta\mathbf{Q}$$

- Onde  $\mathbf{v}$  e  $\mathbf{q}$  são **vetores de variação modal** de tensão e injeção de reativos
- Para o *i*-ésimo modo (iésima componente de  $\mathbf{v}$  ou  $\mathbf{q}$ ):

$$v_i = \frac{1}{\lambda_i} q_i$$

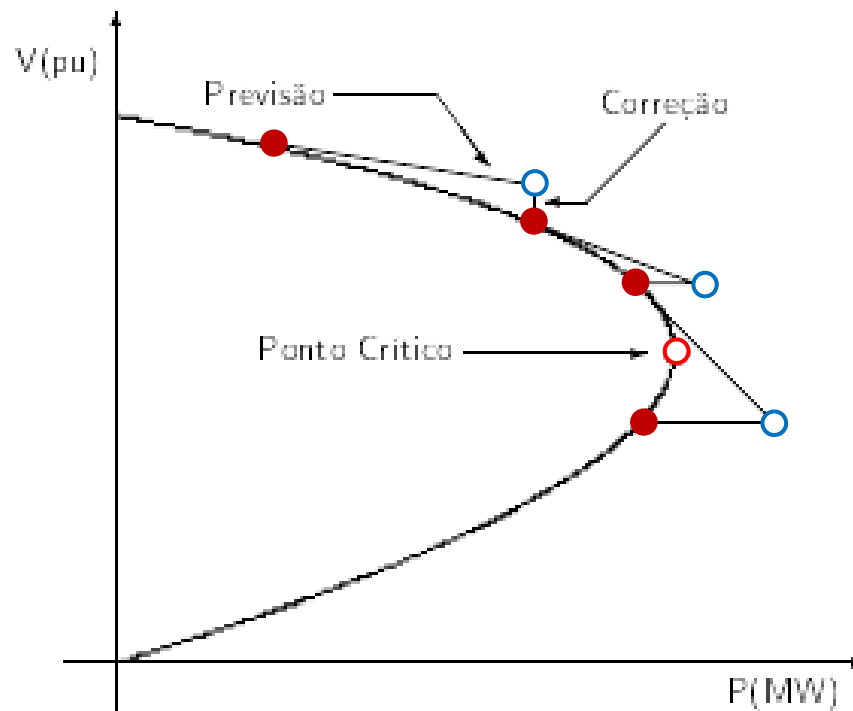
- Se algum  $\lambda_i < 0$ , o sistema é instável pois um acréscimo na injeção de reativos provoca uma redução da tensão

Exemplo

Sensibilidade e análise de autovalores: Kundur (pp.995-998)

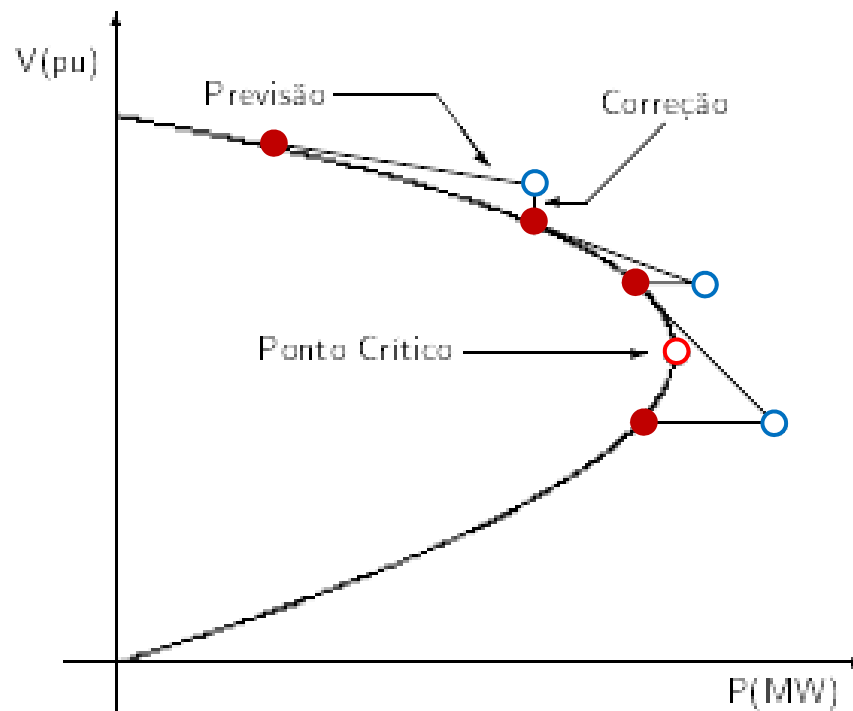
# Fluxo de Potência Continuado

- O método de Newton-Raphson apresenta dificuldade de convergência na solução do fluxo de potência na proximidade do ponto crítico devido ao mal-condicionamento do Jacobiano
- FP Continuado é um esquema de solução que permite a obtenção da solução em qualquer ponto da curva P-V



# Fluxo de Potência Continuado

- O método de Newton-Raphson apresenta dificuldade de convergência na solução do fluxo de potência na proximidade do ponto crítico devido ao mal-condicionamento do Jacobiano
- FP Continuado é um esquema de solução que permite a obtenção da solução em qualquer ponto da curva P-V



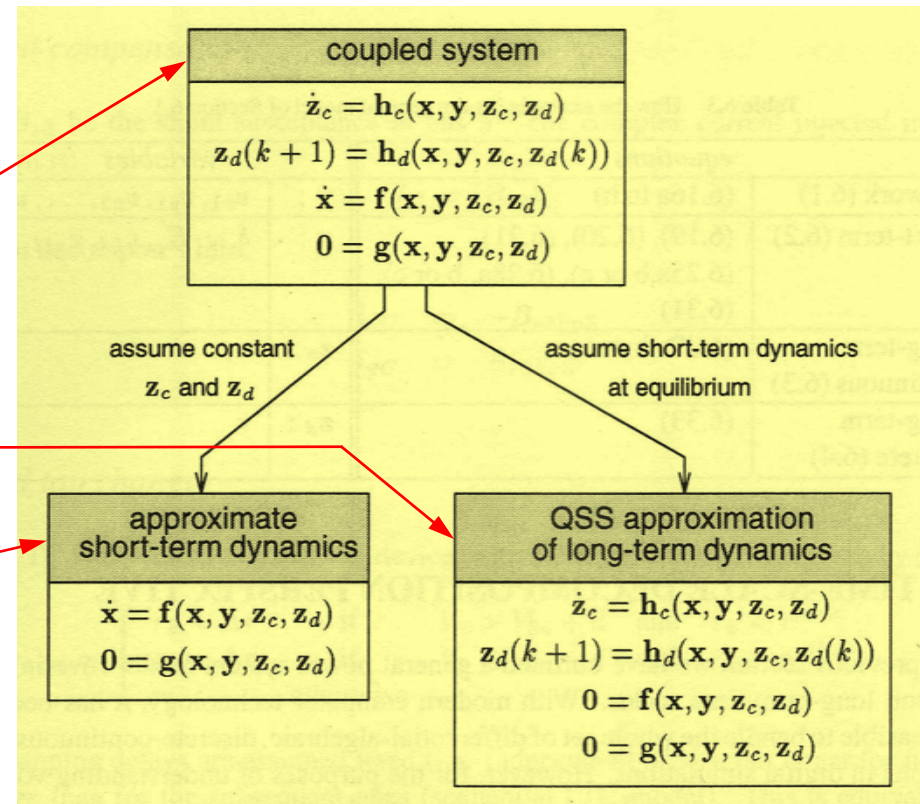


# Análise Dinâmica

Dinâmica de Longa-Duração  
(Múltipla Escala de Tempo)

Dinâmica de Longa-Duração  
(Aproximação Quase-Estática)

Dinâmica de Curta-Duração  
(Estabilidade Transitória)



Fonte: Van Cutsem e Vournas, pp 194.

$\mathbf{x}$  : variáveis de estado dinâmicas (ângulo e velocidade dos rotores, etc.)

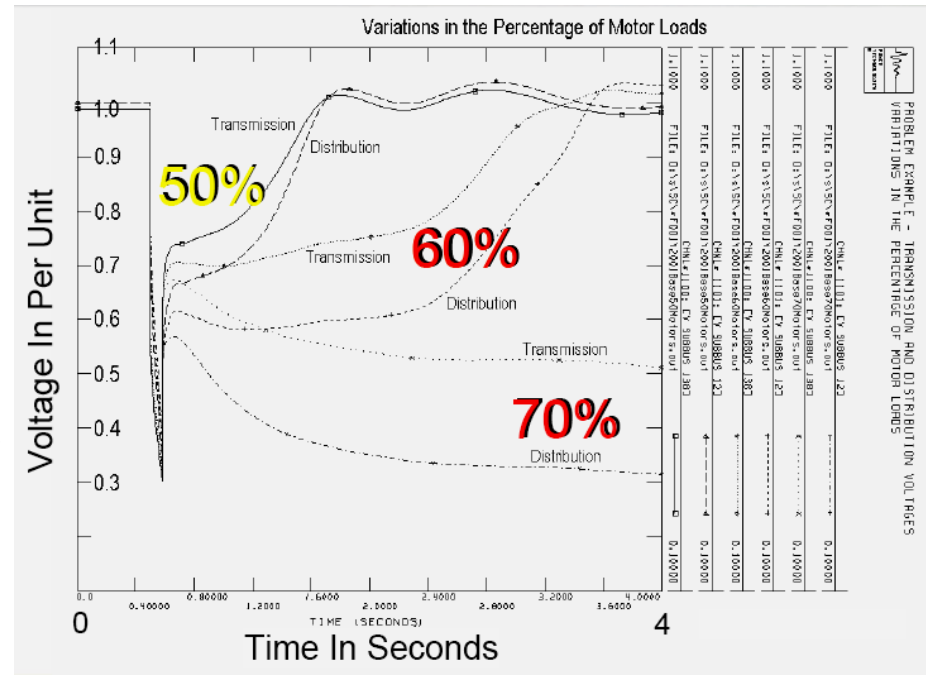
$\mathbf{y}$  : variáveis algébricas (tensões nodais, etc.)

$\mathbf{z}_c$  : variáveis de longo prazo contínuas (cargas termostáticas, aprox contínua LTCs, etc.)

$\mathbf{z}_d$  : variáveis de longo prazo discretas (bancos de capacitores, LTCs, OELs, etc.)

# Dinâmica de Curta-Duração

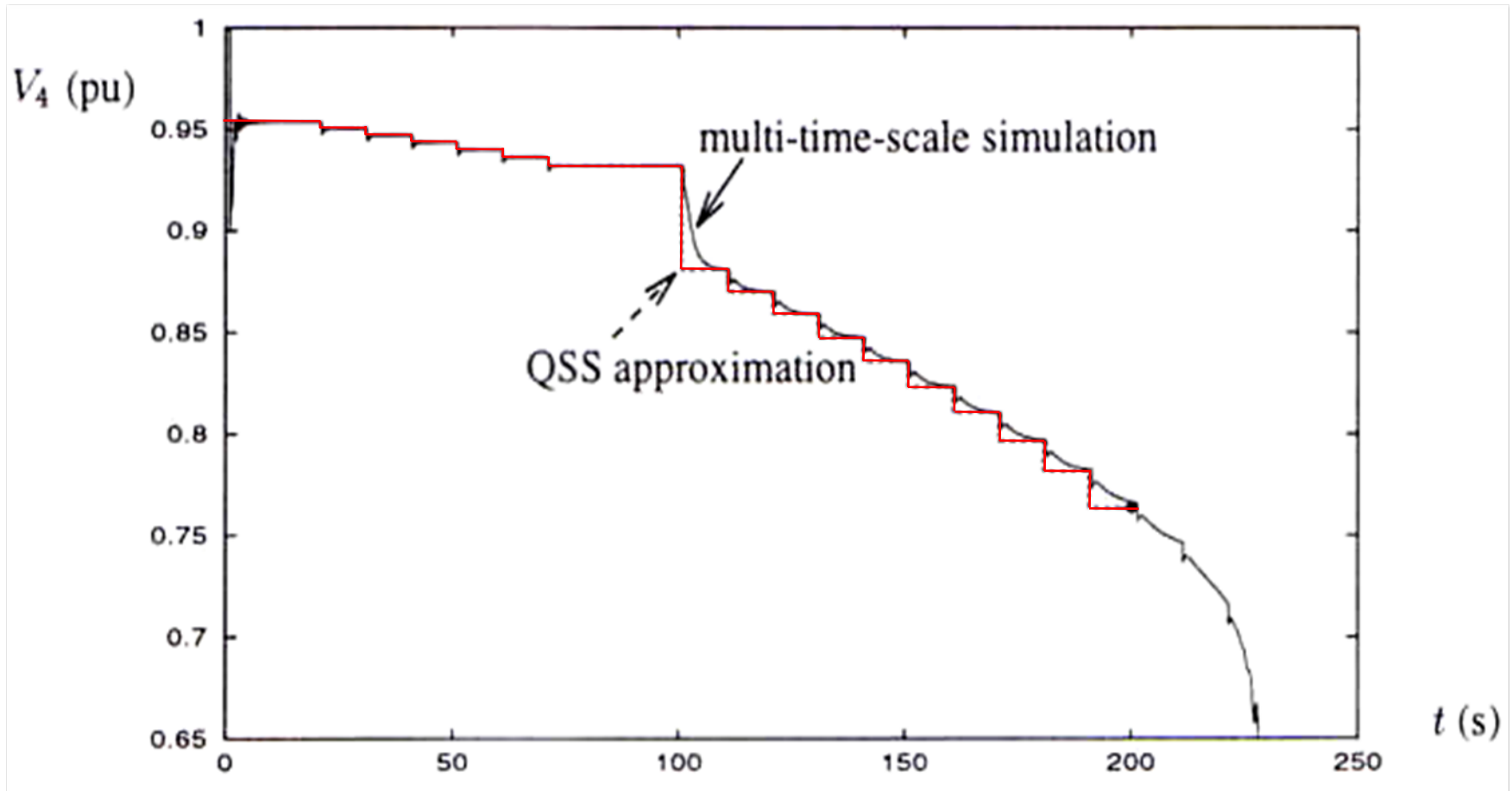
- Usado para estudar o fenômeno de curta-duração
- É o mesmo tipo de simulação utilizado para estudar a Estabilidade Transitória Eletromecânica
- No horizonte estudado, os dispositivos de controle lentos não chegam a atuar
- Como analisar os resultados?



# Dinâmica de Longa-Duração

- Simulação com Múltiplas Escalas de Tempo
  - Modelagem especial de dispositivos associados às dinâmicas das variáveis  $z_c$  e  $z_d$
  - Métodos de integração com passo variável
  - Passo maior em períodos de pouca alteração nas variáveis
- Simulação Quase-Estática
  - São desprezadas as dinâmicas rápidas
  - Sistema evolui de um ponto de equilíbrio para outro
  - Cálculo dos pontos de equilíbrio obtido pela solução de um conjunto de equações algébricas não-lineares
  - Dinâmicas lentas variam de forma instantânea entre pontos de equilíbrio

# Exemplo de Simulação de Longa Duração



Fonte: Van Cutsem e Vournas, pp 321.

# Estudo de Estabilidade de Tensão

- Objetivos
  - Determinar a **margem de estabilidade** dos sistema
  - Determinar ações para aumentar a margem de estabilidade
- Margem de Estabilidade
  - Medida de quanto próximo o ponto de operação se encontra do ponto de colapso de tensão
  - **Distância ao ponto crítico é limite superior da margem**
  - Determinada variando-se um *parâmetro chave* do sistema: carga total ou de uma área do sistema, intercâmbio entre áreas, etc.
  - Estudo realizado para caso base e contingências
- Medidas Corretivas/Preventivas
  - Redespacho de geração ativa
  - Compensação série e shunt
  - Rejeição de carga por subtensão
  - Bloqueio de LTCs
  - Etc.

# Controle Local de Tensão

- Produção e Absorção de Potência Reativa
  - **Geradores**: podem gerar ou absorver, dependendo de estarem super-excitado ou sub-excitados; limitado pela corrente de campo, corrente de armadura, etc. (curva de capacidade)
  - **Linhas de Transmissão**: absorvem (geram) potência reativa para cargas abaixo (acima) da SIL
  - **Transformadores**: sempre absorvem potência reativa
  - **Cargas**: normalmente absorvem potência reativa; variam com a tensão, hora do dia, etc.

# Controle Local de Tensão (cont.)

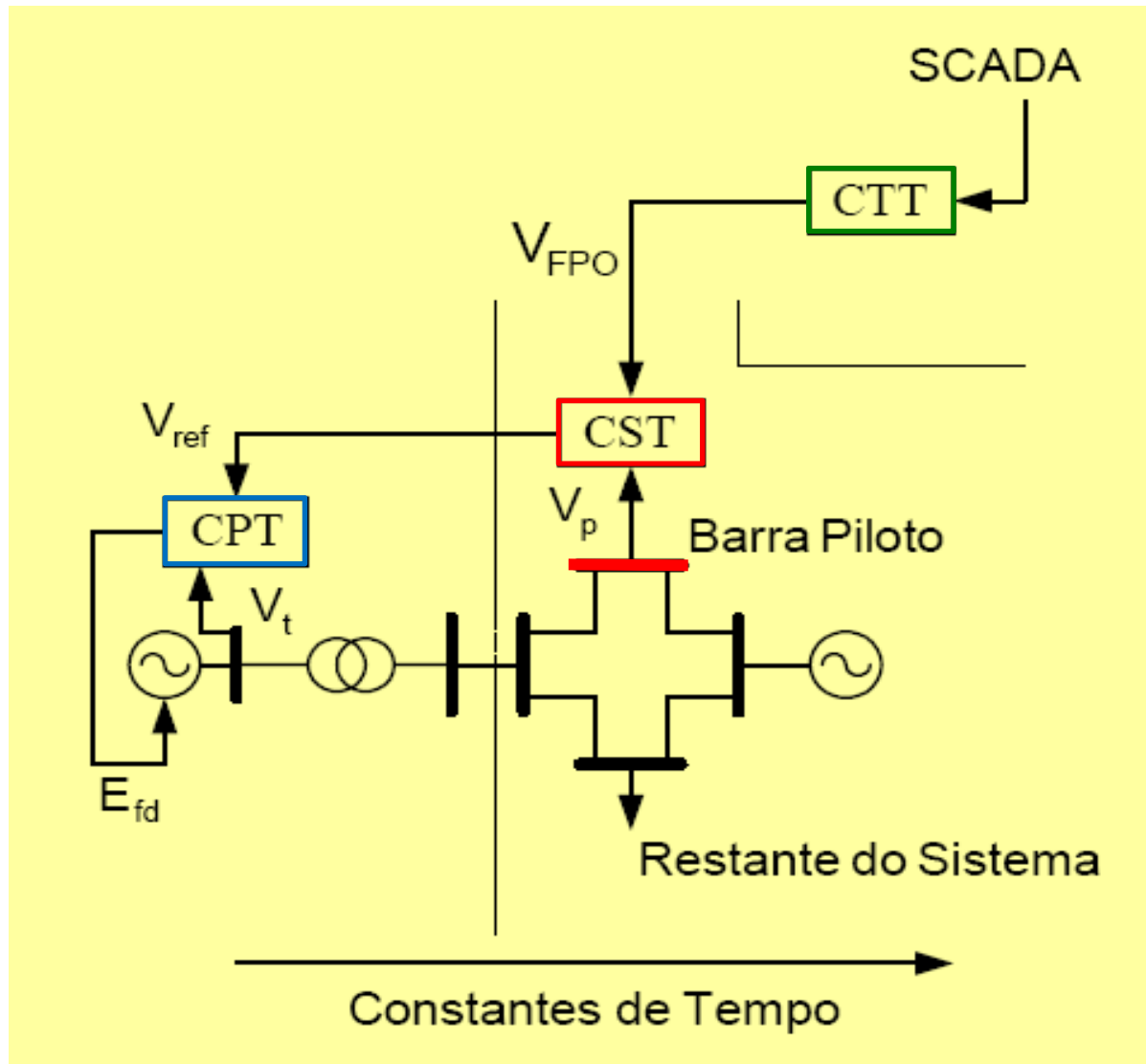
- Dispositivos de Controle
  - Geradores: elemento básico do controle; RAT controla a excitação para manter tensão terminal programada; JVC otimiza da geração de reativos da usina
  - Absorvedores ou geradores de potência reativa: capacitores e reatores shunt, compensadores síncronos e estáticos
  - Compensação série de linhas de transmissão
  - LTCs, reguladores de tensão, etc.
- Características dos dispositivos de controle
  - **Compensação Passiva**: contribuição para o controle de tensão alterando a configuração e parâmetros da rede
  - **Compensação Ativa**: automaticamente mantém tensão nas barras onde estão conectadas; valores das tensões determinados por estudos de planejamento da operação

# Controle Coordenado de Tensão

- Tem como objetivo a manutenção de um perfil adequado de tensões e manutenção de margem de reserva de reativos pela otimização integrada dos diversos dispositivos de controle de tensão
- Em geral, subdividido em três níveis hierárquicos
  - **Controle Primário de Tensão (CPT)**
    - Controle local (0-30 segundos)
  - **Controle Secundário de Tensão (CST)**
    - Controle de barras piloto (30-60 segundos)
  - **Controle Terciário de Tensão (CTT)**
    - Otimização das fontes de reativos (minutos)



# Esquema Geral do CCT



# Controle Secundário de Tensão

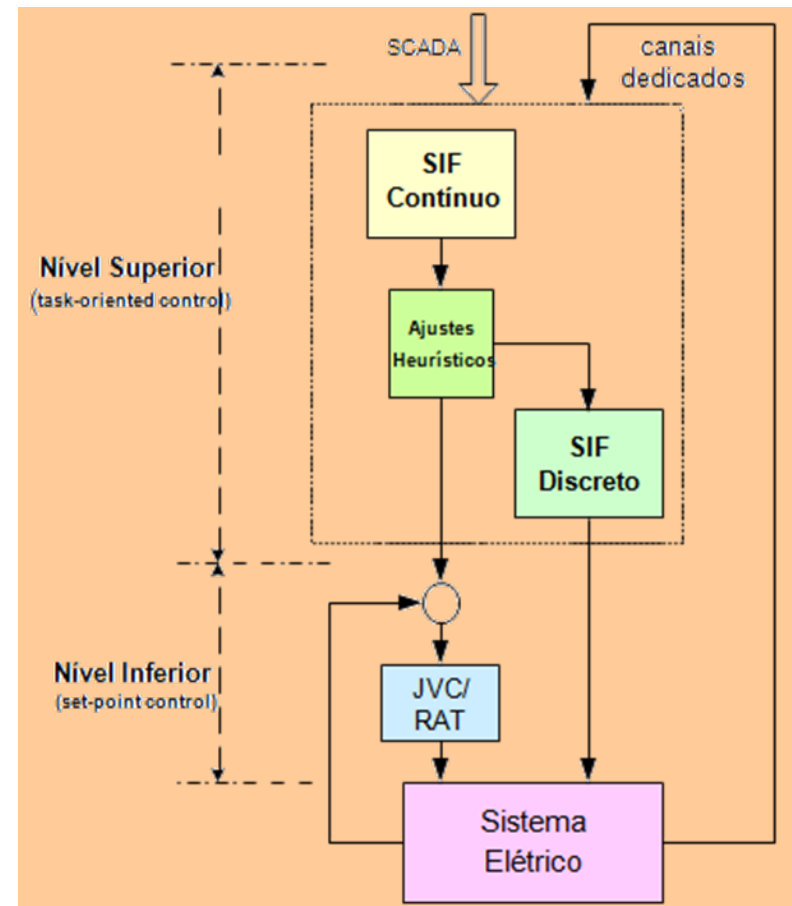
- Consiste na atuação de um grupo específico de reguladores de tensão dos geradores, compensadores estáticos ou síncronos, tapes de transformadores, etc., de forma a manter o perfil de tensão desejado em *barras piloto*
- As tensões dessas barras piloto devem ser representativas do perfil de tensão da região na qual estão inseridas
- O controle secundário de tensão atua numa escala de tempo de 30s a 60s, por exemplo, e se caracteriza por ser um controle de efeito regional

# Controle Terciário de Tensão

- É o nível de coordenação mais lento, no qual a reserva disponível de geração de potência reativa é otimizada para manter um perfil de tensão adequado
- Neste nível se utiliza um programa de **fluxo de potência ótimo** cuja função objetivo é a maximização da reserva de potência reativa e cujas restrições são associadas aos limites da tensão nos principais barramentos do sistema
- Restrições associadas à margem de estabilidade de tensão também podem ser introduzidas na formulação do CTT

# Controle Regional Baseado em Lógica Fuzzy

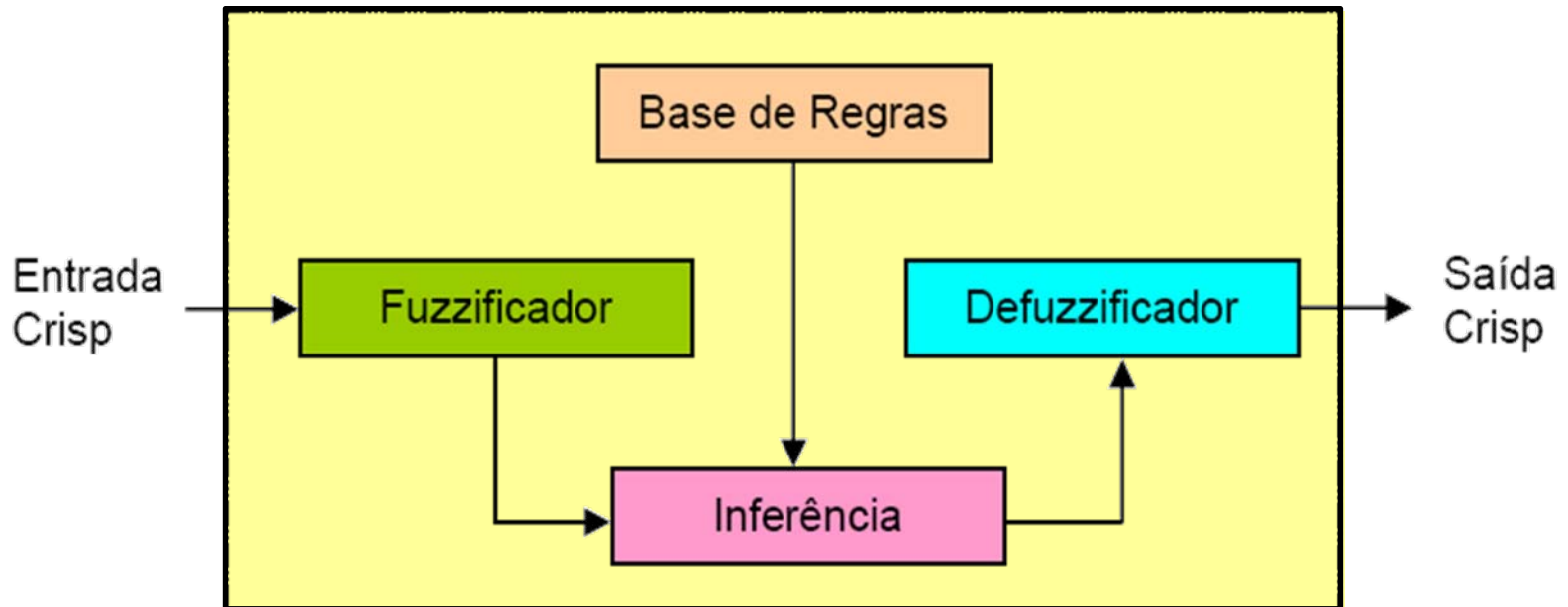
- Controle Regional
  - **SIF Contínuo**: ajustes dos set-points dos JVC/RAT
  - **FIS Discreto**: chaveamento de capacitores/reatores
  - **Ajustes Heurísticos**: verifica limites de tensão nos corredores de transmissão
- Controle Local
  - RATs
  - JVCs



# Sistema de Inferência Fuzzy (SIF)

REGRAS

Se <antecedente> Então <consequente>



# Bibliografia

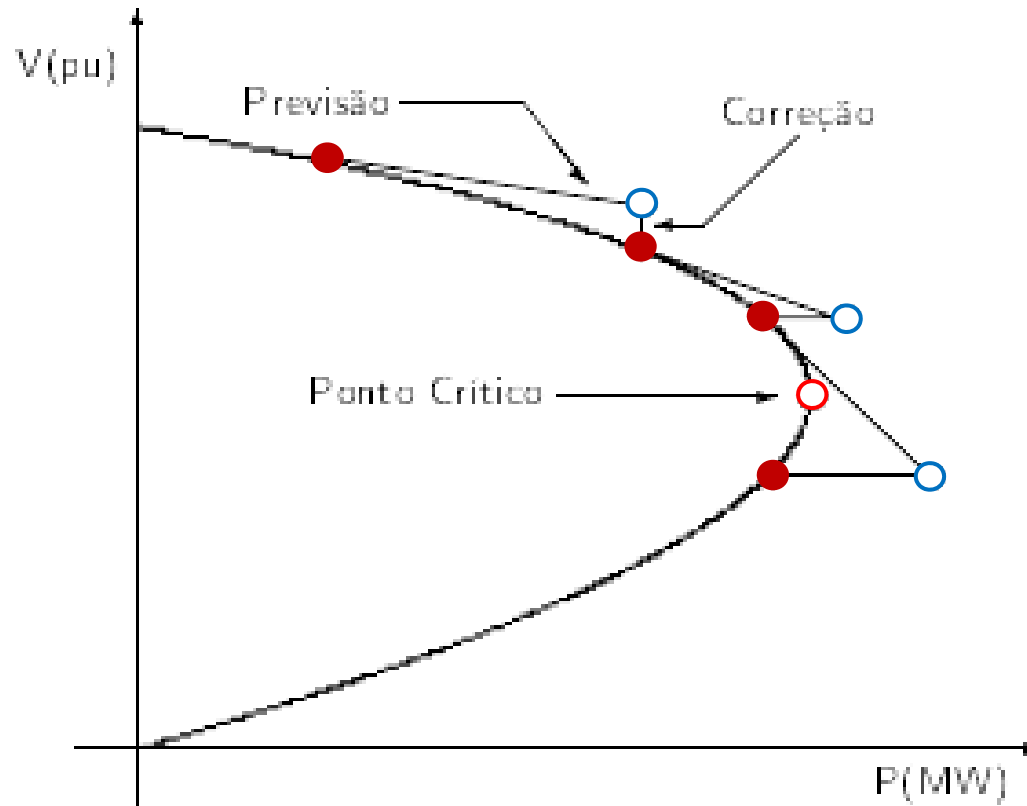
- [1] P. Kundur, *Power System Stability and Control*, McGraw-Hill, 1994. (Cap.11 e 14)
- [2] C. Taylor, *Power System Voltage Stability*, McGraw-Hill, 1994.
- [3] T. Van Cutsem and C. Vournas, *Voltage Stability of Electric Power Systems*, Kluwer, 1998.
- [4] D.M. Falcão, *Notas de aula de Análise de Redes Elétricas*, COPPE/UFRJ, 2006. (Cap. 6).
- [5] P. Kundur et al., “Definition and Classification of Power System Stability”, *IEEE Transactions on Power Systems*, vol. 19, no. 2, May 2004.
- [6] J.C.R. Ferraz et al., “Fluxo de Potência Continuado e Análise Modal na Avaliação e Melhoria da Estabilidade de Tensão do Sistema Sul–Sudeste”, *VII SEPOPE*, 21 a 26 de Maio de 2000.
- [7] B. Gao, G.K. Morison, and P. Kundur, “Towards the Development of a Systematic Approach for Voltage Stability Assessment of Large-Scale Power Systems”, *IEEE Transactions on Power Systems*, vol. 11, no. 3, August 1996.
- [8] C.B. Gomes et al., “Estudos Preliminares da Aplicação de Controle Coordenado de Tensão na Área Rio ”, *VIII SEPOPE*, 19 a 23 de Maio de 2002.
- [9] A.B. Marques, G.N. Taranto, and D.M. Falcão, “A Knowledge-Based System for Supervision and Control of Regional Voltage Profile and Security”, *IEEE Transactions on Power Systems*, vol. 20, no. 4, February 2005.

# Fluxo de Potência Continuado

Djalma M. Falcão



# Ilustração





# Reformulação das Equações

$$\begin{aligned}P_{Lk} &= P_{Lk}^0 + \lambda [\gamma_k S \cos\psi_k] \\Q_{Lk} &= Q_{Lk}^0 + \lambda [\gamma_k S \sin\psi_k]\end{aligned}$$

$$\begin{aligned}P_{Lk} &= P_{Lk}^0(1 + \lambda) \\Q_{Lk} &= Q_{Lk}^0(1 + \lambda)\end{aligned}$$

$P_{Lk}^0, Q_{Lk}^0$ : carga ativa e reativa inicial na barra  $k$ ;

$\gamma_k$ : fator de variação da carga na barra  $k$ ;

$\psi_k$ : fator de variação do fator de potência na barra  $k$ ;

$S$ : valor arbitrário de potência aparente (MVAR) usado como referência para o escalamento do parâmetro  $\lambda$ .

$$P_{Gk} = P_{Gk}^0(1 + \lambda\beta_k)$$

$P_{Gk}^0$ : geração ativa inicial na barra  $k$ ;

$\beta_k$ : fator de variação da geração na barra  $k$ .

# Sistema de Equações

Sistema I

$$P_{Gk}^0(1 + \lambda\beta_k) - P_{Lk}^0 - \lambda [\gamma_k S \cos\psi_k] - g_{pk}(\Theta, \mathbf{V}) = 0, k \in \{PV, PQ\}$$

$$Q_{Gk}^0 - Q_{Lk}^0 - \lambda [\gamma_k S \sin\psi_k] - g_{qk}(\Theta, \mathbf{V}) = 0, k \in \{PV, PQ\}$$

$$g_{pk}(\Theta, \mathbf{V}) = V_k \sum_{m \in \Omega_k} V_m (G_{km} \cos\theta_{km} + B_{km} \sin\theta_{km})$$

$$g_{qk}(\Theta, \mathbf{V}) = V_k \sum_{m \in \Omega_k} V_m (G_{km} \sin\theta_{km} - B_{km} \cos\theta_{km})$$

Forma Compacta

$$\mathbf{f}(\mathbf{x}) = 0$$

$$\mathbf{x} = [\Theta^T \mathbf{V}^T \lambda]^T \text{ e } 0 \leq \lambda \leq \lambda_{critico}$$

# Etapa de Previsão (1)

Variação Incremental

Jacobiano do NR

$$df(\mathbf{x}) = \frac{\partial f(\mathbf{x})}{\partial(\Theta)} d\theta + \frac{\partial f(\mathbf{x})}{\partial(\mathbf{V})} d\mathbf{V} + \frac{\partial f(\mathbf{x})}{\partial(\lambda)} d\lambda$$

$$= \begin{bmatrix} F_{\Theta} & F_{\mathbf{V}} & F_{\lambda} \end{bmatrix} \begin{bmatrix} d\Theta \\ d\mathbf{V} \\ d\lambda \end{bmatrix}$$

$$F_{\theta} = \frac{\partial f(\mathbf{x})}{\partial(\Theta)}; \quad F_{\mathbf{v}} = \frac{\partial f(\mathbf{x})}{\partial(\mathbf{V})}; \quad F_{\lambda} = \frac{\partial f(\mathbf{x})}{\partial(\lambda)}.$$

Para uma variação  $d\lambda$  (parâmetro de continuação), as variações correspondentes em  $\mathbf{V}$  e  $\Theta$ , poderiam ser calculadas resolvendo-se a equação:

$$d\mathbf{f}(x) = 0$$

# Etapa de Previsão (2)

Para resolver a equação  $d\mathbf{f}(x) = 0$ , deve-se introduzir uma equação adicional no sistema, a qual é utilizada para definir o **Parâmetro de Continuação** ( $\lambda$  ou outro)

$$\begin{bmatrix} F_{\Theta} & F_{\mathbf{V}} & F_{\lambda} \\ & \mathbf{e}_k & \end{bmatrix} \begin{bmatrix} d\Theta \\ d\mathbf{V} \\ d\lambda \end{bmatrix} = \begin{bmatrix} 0 \\ \pm 1 \end{bmatrix}$$

+ Parte superior da curva  
- Parte inferior da curva  
Passo unitário

$$\mathbf{e}_k = [0 \quad \dots \quad 0 \quad \overset{k}{1} \quad 0 \quad \dots \quad 0]$$

$k$  define o parâmetro de continuação escolhido

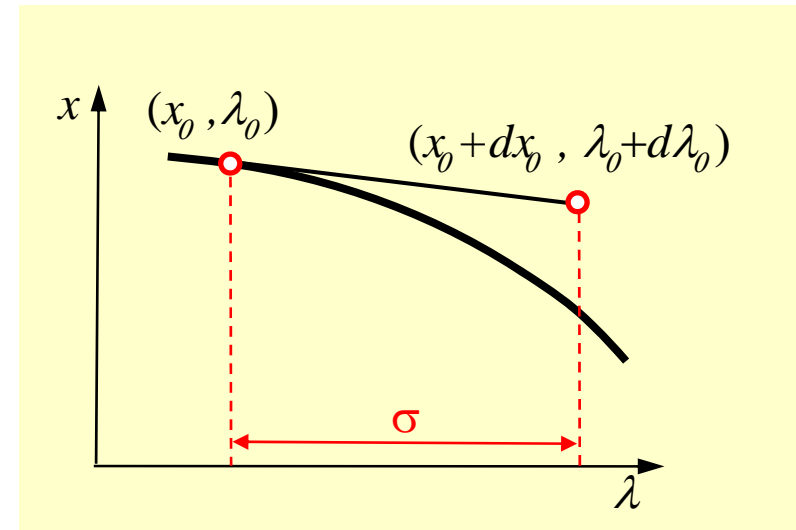
# Escolha do Parâmetro de Continuação

O parâmetro de continuação deve ser escolhido de maneira tal que tenha a maior taxa de variação próximo à solução em questão. Duas situações devem ser observadas:

- Próximo ao caso base (carga normal): variações relativamente grandes na carga ( $\lambda$ ) produzem pequenas variações nas componentes de  $\Theta$  e  $V$ . Neste caso,  $\lambda$  deve ser escolhido como parâmetro de continuação.
- Próximo ao ponto crítico (carga pesada): pequenas variações na carga ( $\lambda$ ) produzem grandes variações em algumas componentes de  $\Theta$  e  $V$ . Neste caso, a componente de  $\theta$  ou  $v$  com maior taxa de variação deve ser escolhida como parâmetro de continuação.

# Passo

$$\begin{bmatrix} \Theta^{p+1} \\ \mathbf{V}^{p+1} \\ \lambda^{p+1} \end{bmatrix} = \begin{bmatrix} \Theta^p \\ \mathbf{V}^p \\ \lambda^p \end{bmatrix} + \sigma \begin{bmatrix} d\Theta \\ d\mathbf{V} \\ d\lambda \end{bmatrix}$$

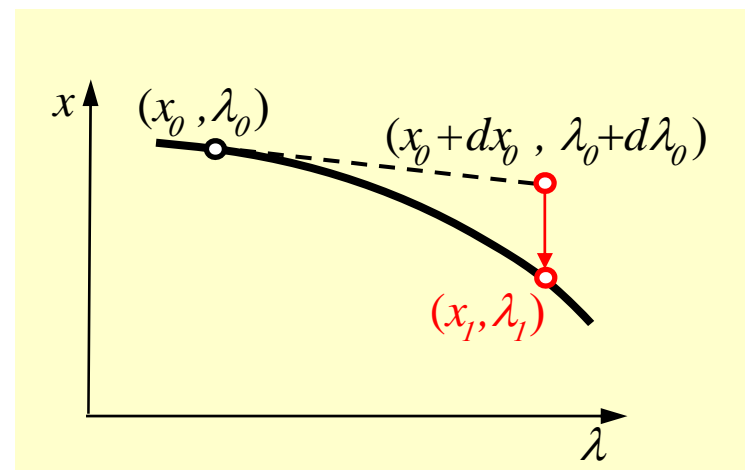


onde  $\sigma$  define o passo a ser dado na direção do vetor tangente e  $p$  é o contador de passos do processo de continuação. A escolha de  $\sigma$  afeta bastante o desempenho do método. Se  $\sigma$  for pequeno, o número de passos necessários para se alcançar a solução desejada é muito grande e, conseqüentemente, o tempo de computação muito elevado. Se  $\sigma$  for demasiadamente grande, a etapa de correção pode não convergir.

# Etapa de Correção

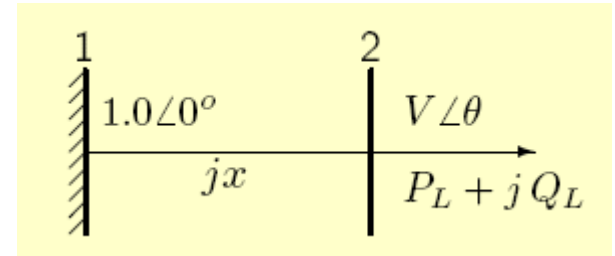
- O sistema de equações  $f(x) = 0$  é aumentado de uma equação que define o valor da variável escolhida como parâmetro de continuação
- O valor da variável de continuação é igual ao valor previsto anteriormente

$$\begin{bmatrix} f(\Theta, V, \lambda) \\ x_k - \eta \end{bmatrix} = \begin{bmatrix} 0 \end{bmatrix}$$



- O sistema de equações acima pode ser resolvido pelo método de Newton-Raphson com uma implementação muito semelhante ao fluxo de potência convencional

# Exemplo (1)



1. *Variaco da carga:*

$$P_L = P_L^0(1 + \lambda)$$
$$Q_L = Q_L^0(1 + \lambda)$$

2. *Equaces do fluxo de potncia incluindo o parmetro  $\lambda$*

$$g_p(\theta, V, \lambda) = -P_L^0(1 + \lambda) - V B_{21} \sin \theta = 0$$
$$g_q(\theta, V, \lambda) = -Q_L^0(1 + \lambda) - V^2 B_{22} + V B_{21} \cos \theta = 0$$

ou

$$\mathbf{f}(\mathbf{x}) = \mathbf{0}$$

onde  $\mathbf{x} = [\theta \ V \ \lambda]^T$ .



# Exemplo (2)

## 3. Vetor tangente

$$\begin{bmatrix} \frac{\partial f_p}{\partial \theta} & \frac{\partial f_p}{\partial V} & \frac{\partial f_p}{\partial \lambda} \\ \frac{\partial f_q}{\partial \theta} & \frac{\partial f_q}{\partial V} & \frac{\partial f_q}{\partial \lambda} \end{bmatrix}_{\theta^p, V^p, \lambda^p} \begin{bmatrix} d\theta^p \\ dV^p \\ d\lambda^p \end{bmatrix} = 0$$

*O sistema de equações acima tem 2 equações e 3 incógnitas. Uma terceira equação pode ser acrescentada ao sistema fazendo-se  $d\lambda = \pm 1$ . O sinal na expressão anterior depende do fato de  $\lambda$  estar crescendo (+) ou decrescendo (-). Assim, temos:*

$$\begin{bmatrix} \frac{\partial f_p}{\partial \theta} & \frac{\partial f_p}{\partial V} & \frac{\partial f_p}{\partial \lambda} \\ \frac{\partial f_q}{\partial \theta} & \frac{\partial f_q}{\partial V} & \frac{\partial f_q}{\partial \lambda} \\ 0 & 0 & 1 \end{bmatrix}_{\theta^p, V^p, \lambda^p} \begin{bmatrix} d\theta^p \\ dV^p \\ d\lambda^p \end{bmatrix} = \begin{bmatrix} 0 \\ 0 \\ \pm 1 \end{bmatrix}$$

*Quando estivermos próximos ao ponto crítico, devemos escolher outro parâmetro de continuação. Por exemplo,  $V = \pm 1$ . Neste caso, teremos:*

$$\begin{bmatrix} \frac{\partial f_p}{\partial \theta} & \frac{\partial f_p}{\partial V} & \frac{\partial f_p}{\partial \lambda} \\ \frac{\partial f_q}{\partial \theta} & \frac{\partial f_q}{\partial V} & \frac{\partial f_q}{\partial \lambda} \\ 0 & 1 & 0 \end{bmatrix}_{\theta^p, V^p, \lambda^p} \begin{bmatrix} d\theta^p \\ dV^p \\ d\lambda^p \end{bmatrix} = \begin{bmatrix} 0 \\ \pm 1 \\ 0 \end{bmatrix}$$

# Exemplo (3)

*Ambos os casos acima podem ser escritos, de forma compacta, como*

$$\begin{bmatrix} J'(\mathbf{x}^p) \\ \mathbf{e}_k \end{bmatrix} [d\mathbf{x}^p] = [\pm \mathbf{e}_k^T]$$

*onde*

$$\mathbf{e}_k = \begin{bmatrix} 0 & 0 & 1 \end{bmatrix} \quad \text{ou} \quad \mathbf{e}_k = \begin{bmatrix} 0 & 1 & 0 \end{bmatrix}$$

*e*

$$J'(\mathbf{x}^p) = \begin{bmatrix} J(\mathbf{x}^p) & J_\lambda(\lambda^p) \end{bmatrix}$$

*onde*

$$J(\mathbf{x}^p) = \begin{bmatrix} \frac{\partial f_p}{\partial \theta} & \frac{\partial f_p}{\partial V} \\ \frac{\partial f_q}{\partial \theta} & \frac{\partial f_q}{\partial V} \end{bmatrix}_{\theta^p, V^p}; \quad J_\lambda(\lambda^p) = \begin{bmatrix} \frac{\partial f_p}{\partial \lambda} \\ \frac{\partial f_q}{\partial \lambda} \end{bmatrix}_{\lambda^p}.$$

*Neste exemplo, as matrizes  $J(\mathbf{x}^p)$  e  $J_\lambda(\lambda^p)$  são dadas por*

$$J(\mathbf{x}^p) = \begin{bmatrix} -V^p B_{21} \cos \theta^p & -B_{21} \sin \theta^p \\ -V^p B_{21} \sin \theta^p & -2V^p B_{22} + B_{21} \cos \theta^p \end{bmatrix}$$

$$J_\lambda(\lambda^p) = \begin{bmatrix} -P_{L0} \\ -Q_{L0} \end{bmatrix}$$

# Exemplo (4)

## 4. Etapa de Previsão

A previsão da solução no passo  $p + 1$  é dada por

$$\begin{bmatrix} \theta^{p+1} \\ V^{p+1} \\ \lambda^{p+1} \end{bmatrix} = \begin{bmatrix} \theta^p \\ V^p \\ \lambda^p \end{bmatrix} + \sigma \begin{bmatrix} d\theta^p \\ dV^p \\ d\lambda^p \end{bmatrix}$$

onde  $\sigma$  é o escalar que determina o passo a ser dado na direção escolhida.

## 5. Etapa de Correção

A etapa de correção consiste em resolver, pelo método de Newton-Raphson, o sistema de equações (6.42). Em cada iteração do processo de solução, o sistema linear a ser resolvido é

$$\begin{bmatrix} & J'(\mathbf{x}) & \\ 0 & 0 & 1 \end{bmatrix} \begin{bmatrix} \bar{\theta} \\ \bar{V} \\ \bar{\lambda} \end{bmatrix} = \begin{bmatrix} f_p(\theta, V, \lambda) \\ f_q(\theta, V, \lambda) \\ -(\bar{\lambda} - \lambda) \end{bmatrix}$$

no caso em que o parâmetro de continuação escolhido é  $\lambda$ , ou

$$\begin{bmatrix} & J'(\mathbf{x}) & \\ 0 & 1 & 0 \end{bmatrix} \begin{bmatrix} \bar{\theta} \\ \bar{V} \\ \bar{\lambda} \end{bmatrix} = \begin{bmatrix} f_p(\theta, V, \lambda) \\ f_q(\theta, V, \lambda) \\ -(\bar{V} - V) \end{bmatrix}$$

no caso em que o parâmetro de continuação escolhido é  $V$ .

# Exemplo de Grande Porte

- J.C.R. Ferraz et al., “Fluxo de Potência Continuado e Análise Modal na Avaliação e Melhoria da Estabilidade de Tensão do Sistema Sul–Sudeste”, *VII SEPOPE*, 21 a 26 de Maio de 2000.
- **Sistema Sul-Sudeste**: configuração de Abril 1997
- Resultados para três áreas:
  - Área São Paulo
  - Área Rio
  - Área CEEE (RS)
- Em todo os estudos foi utilizado modelo de carga do tipo **Potência Constante**
- Resultados apresentados apenas para área São Paulo

# Dados do Sistema

| Sistema                                     | S – SE / Abril 1997        |
|---|----------------------------|
| <i>Barras</i>                               | 1758                       |
| <i>Geradores</i>                            | 170                        |
| <i>Circuitos</i>                            | 2507                       |
| <i>Transformadores</i>                      | 694 (489 fixos e 205 LTCs) |
| <i>Barras com Controle Remoto de Tensão</i> | 10                         |
| <i>Carregamento Original</i>                | 29585 MW / 13158 Mvar      |

| Área São Paulo em Relação ao Sistema S-SE / Abril 1997 |                       |                        |                      |                       |
|--|-----------------------|------------------------|----------------------|-----------------------|
| Empresa  | Carga                 |                        | Geração              |                       |
|  | P                     | Q                      | P                    | Q                     |
| <i>ELETR<br/>PAULO</i>                                 | 32,04 %               | 18,98 %                | 0,35 %               | 6,70 %                |
| <i>CPFL</i>  | 9,12 %                | 6,68 %                 | 0,12 %               | 0,02 %                |
| <i>CESP</i>  | 8,14 %                | 6,57 %                 | 25,81 %              | 4,62 %                |
| <b>Total</b>   | 49,30 %<br>(14585 MW) | 32,23 %<br>(4241 Mvar) | 26,28 %<br>(8274 MW) | 11,34 %<br>(546 Mvar) |

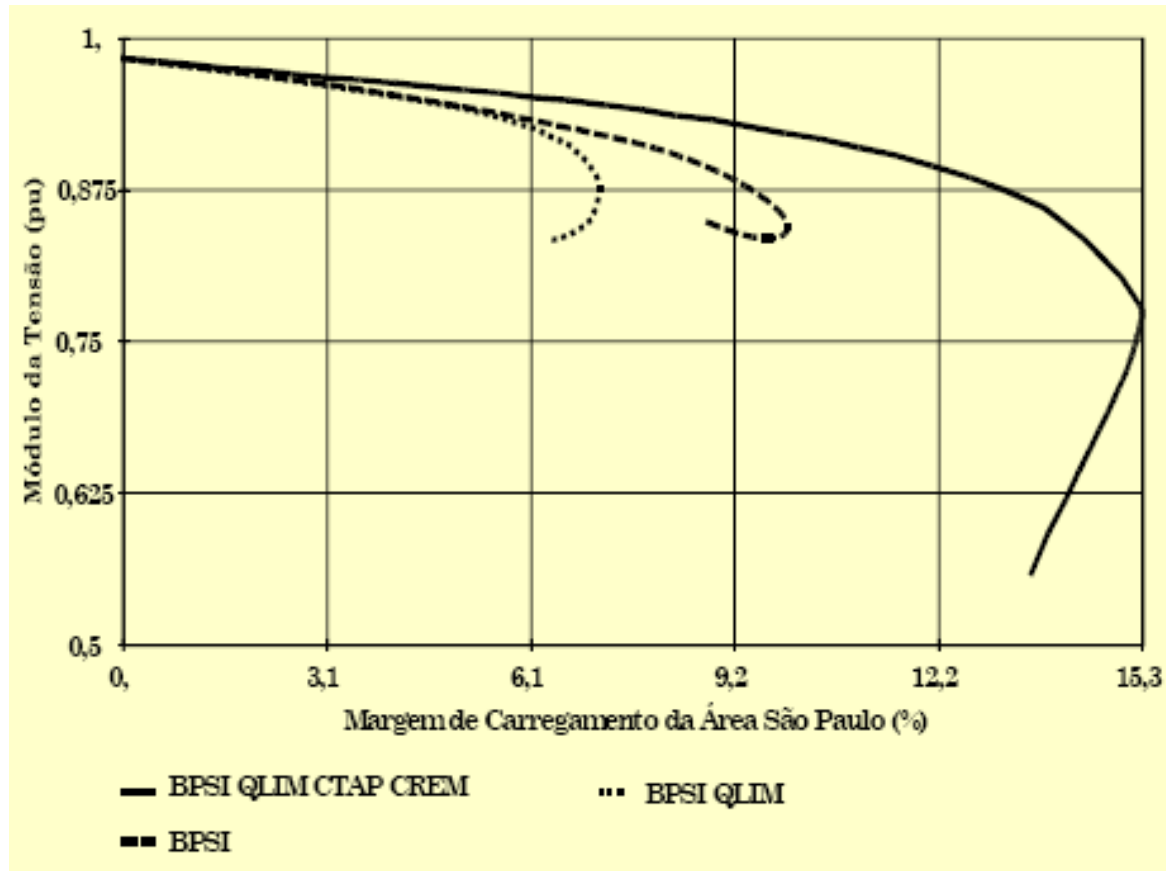
# Opções de Controle

| Opção       | Descrição   |
|-------------|---|
| <i>BPSI</i> | Distribui a geração necessária para suprir o excedente de carga entre os geradores do sistema, de acordo com os fatores de participação determinados nos dados de entrada.  |
| <i>QLIM</i> | Ativa os limites de geração de potência reativa nos geradores. Quando um limite é atingido, a tensão na barra deixa de ser controlada. Durante o processo é verificada a possibilidade da tensão voltar a ser controlada ( <i>back-off</i> automático). |
| <i>CTAP</i> | Ativa o controle de tensão por variação automática de <i>tap</i> dos transformadores.   |
| <i>CREM</i> | Ativa o controle de tensão por injeção remota de potência reativa.  |

# Margem de Estabilidade

| Sistema Sul – Sudeste / Abril 1997                       |  |                                   |  |
|--|--|-----------------------------------|--|
| Opções de Controle                                       | Margem de Carregamento da Área São Paulo | Margem de Carregamento do Sistema | Parâmetro de Continuação no Ponto Máximo |
| <i>BPSI</i><br><i>QLIM</i><br><i>CTAP</i><br><i>CREM</i> | 15,31 %<br>(2233 MW)                     | 7,55 %                            | Módulo da Tensão<br>“ITAPETI2-138”       |
| <i>BPSI</i>  | 9,98 %<br>(1456 MW)                      | 4,92 %                            | Módulo da Tensão<br>“CACH----11.4”       |
| <i>BPSI</i><br><i>QLIM</i>                               | 7,16 %<br>(1044 MW)                      | 3,53 %                            | Módulo da Tensão<br>“CENTRO---20”        |

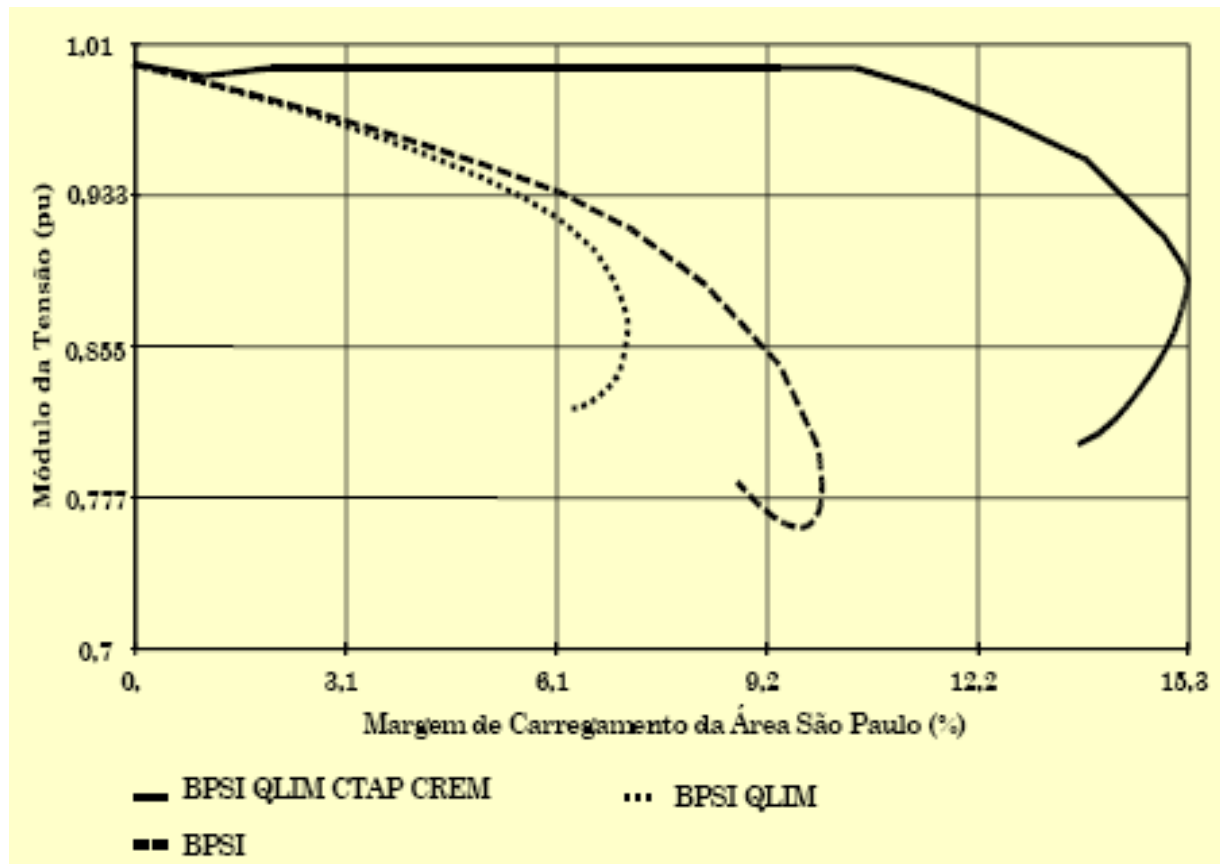
# Perfil de Tensões (1)



Perfil de tensão na barra *ITAPETI2-138*

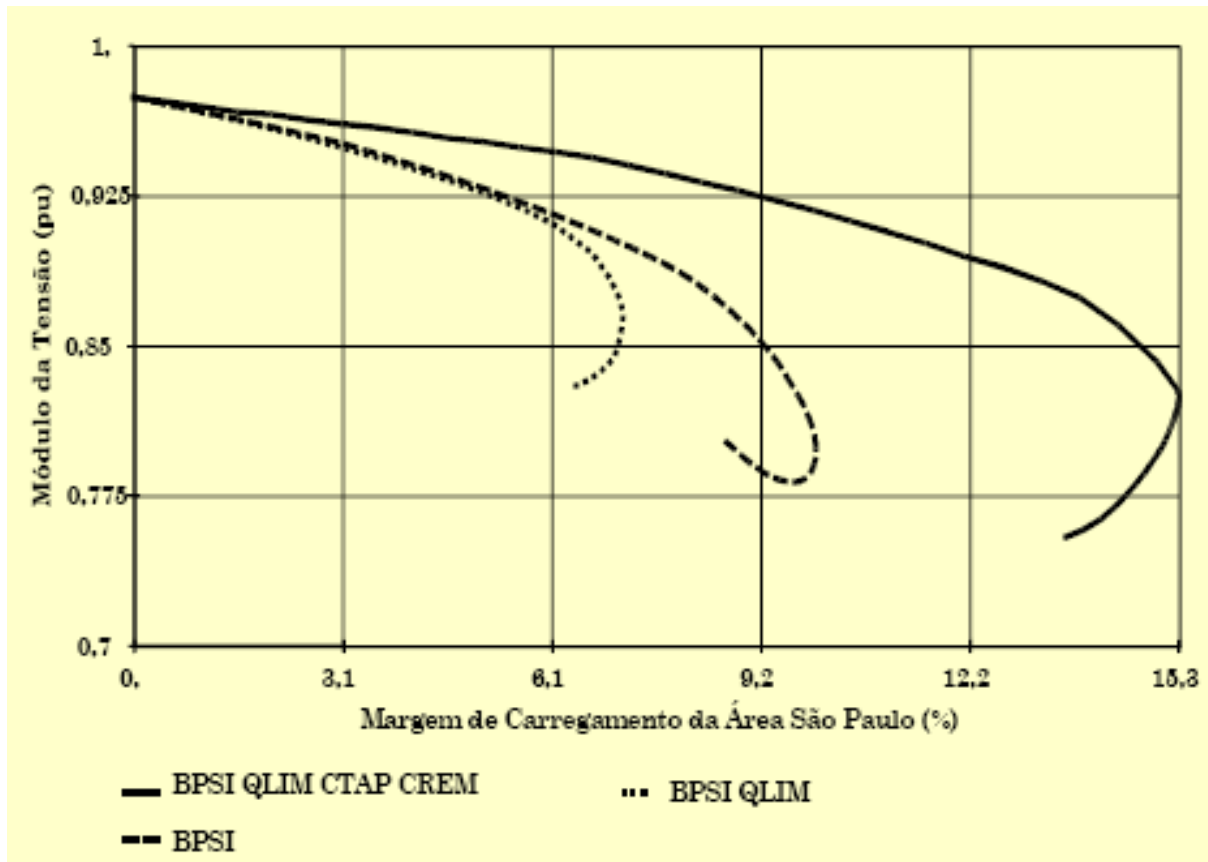


# Perfil de Tensões (2)



Perfil de tensão na barra *CENTRO----20*

# Perfil de Tensões (3)



Perfil de tensão na barra *PIRITUBA-230*

# Aplicação de Fluxo de Potência Ótimo em Estudos de Estabilidade de Tensão

Djalma M. Falcão

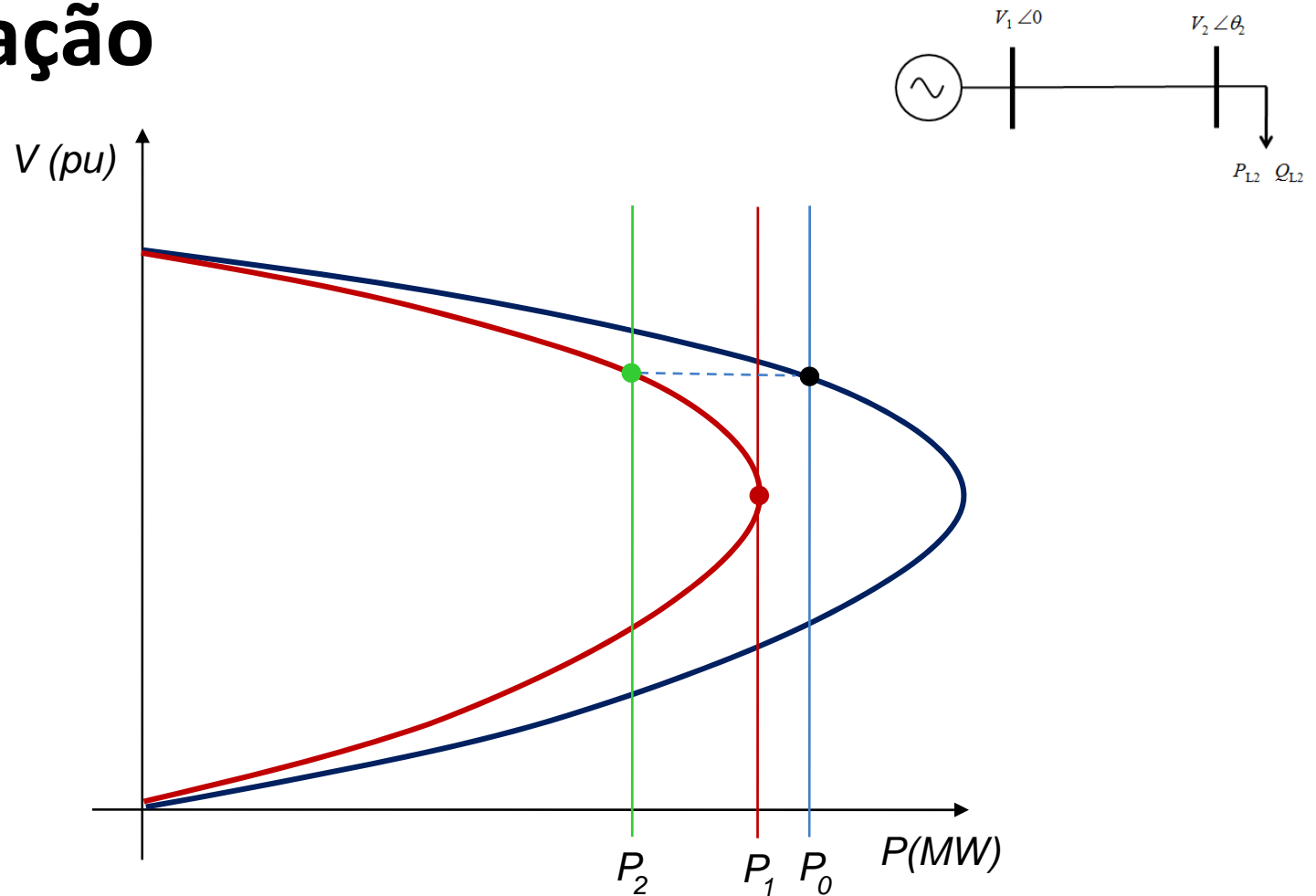


# Retorno à Solvabilidade\*

- Para um dado carregamento do sistema, o problema de fluxo de potência pode não ter solução
- Uma das razões é que esse carregamento corresponde a um *estado operativo* além da capacidade de máxima transferência de potência (ponto crítico)
- Neste caso, existe interesse prático em se determinar qual o mínimo corte de carga que permitirá atingir uma situação na qual o fluxo de potência tem solução ou o retorno à solvabilidade do fluxo de potência
- S. Granville, J.C.O. Mello, and A.C.G. Melo, “Application of Interior Point Methods to Power Flow Unsolvability”, *IEEE Transactions on Power Systems*, vol. 11, no. 2, May 1996.

\* *Solvabilidade ou Solvibilidade: Qualidade de solvível; que tem solução.*

# Ilustração



$P_0 - P_1$ : quantidade mínima de carga a ser rejeitada para garantir solvabilidade

$P_0 - P_2$ : quantidade de carga a ser rejeitada para garantir solvabilidade satisfazendo restrições operativas

# Formulação do Problema de FPO

$$\min \mathbf{P}_L^T \boldsymbol{\beta}$$

$$s. a \quad P_{Gk} - (1 - \beta_i) P_{Lk} - p_k(\mathbf{V}, \theta), \quad k = 1, \dots, N$$

$$Q_{Gk} - (1 - \beta_i) Q_{Lk} - q_k(\mathbf{V}, \theta), \quad k = 1, \dots, N$$

$$\mathbf{a} \leq \mathbf{z} \leq \mathbf{b}$$

$$p_k(\mathbf{V}, \theta) = -V_k \sum_{m \in \Omega_k} V_m (G_{km} \cos \theta_{km} + B_{km} \sin \theta_{km})$$

$$q_k(\mathbf{V}, \theta) = -V_k \sum_{m \in \Omega_k} V_m (G_{km} \sin \theta_{km} - B_{km} \cos \theta_{km})$$

# Comentários

- $\beta$ : fator de redução da carga para restaurar solvabilidade
- $\mathbf{a}, \mathbf{b}$ : vetores de limites operacionais em variáveis da rede (tensões, geração ativa/reactiva, fluxos de potência nas linhas, etc.)
- A solução do problema de otimização produz um valor de  $\beta$  que conduz a uma solução do fluxo de potência atendendo as restrições operacionais
- A solução pode ser obtida por qualquer método de otimização porém os melhores resultados têm sido alcançados com o método dos Pontos Interiores

# Comentários (cont.)

- Os Multiplicadores de Lagrange associados às restrições têm as seguintes interpretações:
  - Equações do fluxo de potência: refletem a contribuição incremental de cada barrar na rejeição total de carga no sistema
  - Limites nas variáveis: refletem o impacto da relaxação desses limites na rejeição total de carga no sistema
- Essas informações podem ser utilizadas para determinar a localização e dimensão de reforços na rede para aumentar a margem de estabilidade de tensão



# Exemplo

$$\min \beta P_{L2}$$

s. a

$$-(1 - \beta)P_{L2} - \frac{V_1 V_2}{x} \sin \theta_2 = 0$$

$$-(1 - \beta)Q_{L2} - \frac{V_2^2}{x} + \frac{V_1 V_2}{x} \cos \theta_2 = 0$$

$$V_1^{\min} \leq V_1 \leq V_1^{\max}$$

$$V_2^{\min} \leq V_2 \leq V_2^{\max}$$

Variáveis:  $\beta, V_1, V_2, \theta_2$

